

SEIZMIČKI PRORAČUN
ARMIRANOBETONSKIH ZGRADA U
SKLADU S EUROKODOVIMA
S RIJEŠENIM PRIMJERIMA

Srđan Janković

Gradičinski fakultet Univerziteta Crne Gore



Podgorica, 2022.

SADRŽAJ

PredgovorXIX

1. Osnove dinamike konstrukcija1

1.1 Elastični sistemi s jednim stepenom slobode	2
1.1.1 Jednačina kretanja: spoljna dinamička sila	2
1.1.2 Slobodne neprigušene vibracije	4
1.1.3 Slobodne prigušene vibracije	5
1.1.3.1 Računski primjer oscilacija jednospratnog objekta	9
1.1.4 Jednačina kretanja: zemljotres kao pobuda	12
1.1.5 Reakcija sistema na zemljotres	13
1.1.6 Koncept spektra odgovora	16
1.1.6.1 Definicija spektra odgovora	16
1.1.6.2 Spektar odgovora pomjeranja	17
1.1.6.3 Spektar odgovora pseudobrzine	17
1.1.6.4 Spektar odgovora pseudoubrzanja	18
1.1.6.5 Primjena spektara odgovora pri proračunu konstrukcija	19
1.1.6.6 Projektni spektar odgovora	19
1.2 Neelastični sistemi s jednim stepenom slobode	20
1.2.1 Histerezisno prigušenje	21
1.2.2 Rješavanje jednačine kretanja sistema s jednim stepenom slobode pomoću metode „korak po korak“	24
1.2.2.1 Opis metode „korak po korak“	24
1.2.2.2 Procedura metode „korak po korak“	26
1.2.2.3 Računski primjer primjene metode „korak po korak“ elastičnoplastično ponašanje	27
1.2.2.4 Računski primjer primjene metode „korak po korak“ - elastično ponašanje	31
1.2.3 Uticaj nelinearnosti na odgovor sistema	34
1.2.4 Relacije između nosivosti i duktilnosti sistema opterećenih seizmičkim silama	38
1.2.5 Neelastični spektar odgovora	40
1.3 Elastični sistemi s više stepeni slobode	42
1.3.1 Jednačine kretanja: spoljna dinamička sila	42
1.3.1.1 Elastične sile otpora	43
1.3.1.2 Sile prigušenja	44
1.3.1.3 Inercijalne sile	45
1.3.2 Jednačine kretanja: zemljotres kao pobuda	45
1.3.3 Analiza sopstvenih vibracija	46
1.3.3.1 Riješeni primjer određivanja sopstvenih kružnih frekvencija, perioda i oblika oscilovanja za sistem sa tri stepena slobode	49
1.3.4 Modalna analiza	51
1.3.4.1 Riješeni primjer upotrebe modalne analize	54
1.3.5 Upotreba spektra odgovora	55
1.4 Neelastični sistemi s više stepeni slobode	56

2. Principi projektovanja i seizmičko opterećenje	58
2.1 Armiranobetonske konstrukcije u seizmičkim oblastima	58
2.1.1 Prednosti i mane upotrebe armiranog betona	58
2.1.2 Konstruktivni sistemi	60
2.1.2.1 Vrste konstruktivnih sistema prema EC8-1	60
2.1.2.2 Sistem stubova sa ravnim pločama (sistem i bez greda).....	61
2.1.2.3 Outrigger sistem	62
2.1.2.4 Ramovski cjevasti (frame tube) sistemi	64
2.1.2.5 Cijev u cijevi (tube-in-tube) sistemi	65
2.1.2.6 „Kičma“ zid (spine wall) sistemi	66
2.1.3 Primarni i sekundarni seizmički elementi	67
2.1.3.1 Uvod	67
2.1.3.2 Razlozi upotrebe sekundarnih seizmičkih elemenata	67
2.1.3.3 Ograničenja klasifikacije elemenata kao sekundarnih	68
2.1.3.4 Određivanje uticaja i dimenzionisanje sekundarnih elemenata	69
2.2 Zahtjevi ponašanja i granična stanja	71
2.2.1 Projektni ciljevi	71
2.2.2 Zahtjevi ponašanja prema EC8-1	73
2.2.2.1 Zahtjev da ne dođe do rušenja	74
2.2.2.2 Zahtjev ograničenja oštećenja	75
2.2.3 Granična stanja	76
2.2.3.1 Granično stanje nosivosti	76
2.2.3.2 Granično stanje ograničenja oštećenja	83
2.2.3.3 Posebne mjere	84
2.2.3.4 Proračun baziran na pomjeranjima, DBD	85
2.3 Projektni koncepti: izbor nosivosti i duktilnosti	87
2.3.1 Klase duktilnosti konstrukcija	87
2.3.2 Faktor ponašanja q za armiranobetonske konstrukcije	89
2.3.3 Veza između q faktora i lokalne duktilnosti elemenata	92
2.3.3.1 Veza između duktilnosti krivine i duktilnosti pomjeranja kod zida	92
2.3.3.2 Veza između duktilnosti krivine i duktilnosti pomjeranja kod rama	94
2.3.3.3 Dužina plastičnog zgloba	95
2.3.3.4 Zavisnost lokalne duktilnosti od faktora ponašanja prema EC8-1	95
2.3.4 Osnove metode programiranog ponašanja	96
2.4 Definisanje zemljotresnog opterećenja prema EC8-1	98
2.4.1 Kategorizacija tipova tla	99
2.4.2 Seizmičke zone i mjera intenziteta zemljotresa	100
2.4.3 Elastični spektri odgovora	103
2.4.4 Vertikalni elastični spektar odgovora	106
2.4.5 Projektni spektri odgovora za elastične analize	107
2.4.6 Računski primjer definisanja seizmičkog opterećenja preko spektra odgovora	109
2.4.7 Alternativno prikazivanje zemljotresnog dejstva - zemljotresni zapis	110
2.4.7.1 O skaliranju zemljotresnih zapisa	111
2.4.7.2 Računski primjer definisanja seizmičkog opterećenja preko vremenske istorije ubrzanja tla	112

3. Seizmička analiza konstrukcija	115
3.1 Regularnost konstrukcije	116
3.1.1 Uticaj regularnosti konstrukcije na proračun	116
3.1.2 Kriterijumi horizontalne regularnosti	117
3.1.3 Kriterijumi vertikalne regularnosti	122
3.1.4 Računski primjer kontrole horizontalne regularnosti jednospratnog objekta	124
3.1.5 Računski primjer kontrole horizontalne regularnosti višespratnog objekta	127
3.2 Modeliranje	130
3.2.1 Stepen diskretizacije	130
3.2.2 Modeliranje elemenata kod linearnih analiza	130
3.2.2.1 Grede i stubovi	130
3.2.2.2 Čvorovi	132
3.2.2.3 Zidovi	133
3.2.2.4 Ploče	134
3.2.2.5 Temelji	136
3.2.2.6 Zidovi ispune	137
3.2.3 Usvajanje krutosti elemenata	137
3.2.4 Modeliranje konstrukcije kod nelinearnih analiza	142
3.2.5 Slučajni torzioni efekti	143
3.3 Osnovne metode seizmičke analize	144
3.3.1 Uvodna razmatranja	144
3.3.2 Metoda bočne sile (linearna statička metoda), EC8-1, 4.3.3.2	146
3.3.2.1 Određivanje osnovne periode oscilovanja zgrade T_1	147
3.3.2.2 Seizmička sila u osnovi (ukupna seizmička sila)	147
3.3.2.3 Rasподjela ukupne seizmičke sile	148
3.3.2.4 Torzioni efekti	149
3.3.2.5 Računski primjer upotrebe metode bočne sile	150
3.3.3 Modalna analiza sa spektrima odgovora (linearna dinamička analiza), EC8-1, 4.3.3.3	152
3.3.3.1 Računski primjer upotrebe modalne analize sa spektrima odgovora	154
3.3.4 Statička nelinearna (pushover) analiza	158
3.3.4.1 Transformacija sistema MDOF u ekvivalentni SDOF sistem	161
3.3.4.2 Određivanje ciljnog pomjeranja d_t^*	162
3.3.4.3 Računski primjer pushover analize prema EC8-1	164
3.3.5 Nelinearna dinamička analiza	170
3.3.5.1 Računski primjer nelinearne dinamičke analize	171
3.3.6 Kombinacija uticaja uslijed zemljotresnih dejstava različitih pravaca	174
3.3.7 Kritički osvrti na odredbe EC8-1 u vezi sa metodama seizmičkih analiza	176
3.4 Probabilistička analiza seizmičke sigurnosti ramovskih konstrukcija projektovanih prema EC8-1	177
3.4.1 Uvod	177
3.4.2 Probabilistička analiza graničnog stanja	177
3.4.3 Osnovni podaci o ramovima i njihovo modeliranje	178
3.4.4 Analiza seizmičkog hazarda i izbor zemljotresnih zapisa	180
3.4.5 Odgovori ramova na dejstvo zemljotresa	181
3.4.5.1 Zavisnost odgovora konstrukcije od seizmičkog intenziteta	185
3.4.5.2 Neodređenosti i slučajnosti prisutne pri određivanju seizmičkog odgovora	187

3.4.6 Izračunavanje kapaciteta deformabilnosti konstrukcije	189
3.4.6.1 Lokalno ponašanje	190
3.4.6.2 Globalno ponašanje	191
3.4.6.3 Neodređenosti i slučajnosti prisutne pri određivanju kapaciteta	193
3.4.7 Određivanje nivoa povjerenja i zaključci	195
4. Armatura, beton i njihova veza	198
4.1 Armaturni čelik	198
4.1.1 Napon-dilatacija dijagram pri monotonom opterećenju	198
4.1.2 Napon-dilatacija dijagram pri cikličnom dejstvu	200
4.1.3 Uticaj brzine nanošenja opterećenja	200
4.1.4 Klase armaturnog čelika prema EC2-1-1 i EC8-1	201
4.1.5 Dijagram napon-deformacija za armaturni čelik prema EC2-1-1	205
4.2 Neutegnuti beton	206
4.2.1 Napon-dilatacija dijagram pri monotonom opterećenju	206
4.2.2 Uticaj cikličnog dejstva	207
4.2.3 Uticaj brzine nanošenja opterećenja	208
4.2.4 Usvajanje modula elastičnosti	208
4.2.5 Odredbe EC2-1-1 i EC8-1 u vezi neutegnutog betona	208
4.3 Utégnuti beton	212
4.3.1 Napon-dilatacija dijagram u zavisnosti od poprečnog napona	213
4.3.2 Utezanje betona poprečnom armaturom	216
4.3.2.1 Kružni poprečni presjek sa uzengijama	220
4.3.2.2 Kružni poprečni presjek sa spiralnom armaturom	221
4.3.2.3 Pravougaoni poprečni presjek	221
4.3.2.4 Poprečni presjek opterećen momentom savijanja sa normalnom silom ili bez nje	222
4.4 Veza između betona i armature	223
4.4.1 Relacija napon veze-klizanje pri monotonom opterećenju	224
4.4.2 Relacija napon veze-klizanje pri cikličnom opterećenju	226
5. Ramovske konstrukcije	228
5.1 Osnovne karakteristike ramovskih konstrukcija	228
5.2 Koncept projektovanja ramova	229
5.3 Greda	233
5.3.1 Ponašanje pri seizmičkim uslovima	233
5.3.1.1 Moment-krivina dijagram pri monotonom opterećenju	233
5.3.1.2 Računski primjer konstruisanja moment-krivina dijagrama	242
5.3.1.3 Alternativno ciklično opterećenje na savijanje	249
5.3.1.4 Uticaj smicanja na ponašanje greda	251
5.3.2 Proračun i dimenzionisanje greda	255
5.3.2.1 Geometrija i dimenzije greda	255
5.3.2.2 Određivanje mesta pojave plastičnih zglobova u gredama	257
5.3.2.3 Određivanje proračunskih uticaja za dimenzionisanje greda	258
5.3.2.4 Dimenzionisanje greda	262
5.3.2.5 Detalji armiranja plastičnih zglobova greda	264

5.4	Stubovi	267
5.4.1	Ponašanje u seizmičkim uslovima	267
5.4.1.1	Monoton opterećenje	268
5.4.1.2	Moment-krivina dijagram	269
5.4.1.3	Računski primjer određivanja moment-krivina dijagraama za razne vrijednosti normalne sile	275
5.4.1.4	Uticaj utezanja betona	276
5.4.1.5	Ciklično opterećenje	277
5.4.2	Proračun i dimenzionisanje stubova	279
5.4.2.1	Usvajanje dimenzija stuba	279
5.4.2.2	Određivanje proračunskih uticaja za dimenzioniranje stubova	281
5.4.2.3	Dimenzioniranje stuba	287
5.4.2.4	Obrada detalja u kritičnim oblastima stuba	289
5.4.3	Stubovi kod ramova dominantno opterećenih gravitacionim opterećenjem	293
5.5	Čvorovi	295
5.5.1	Ponašanje u seizmičkim uslovima	295
5.5.1.1	Uticaj sidrenja armature na ponašanje čvora	296
5.5.1.2	Smičuće sile u čvoru	297
5.5.1.3	Mehanizmi prenosa smičućih sila u čvoru	298
5.5.2	Proračun i dimenzioniranje čvorova prema EC8-1	300
5.5.2.1	DCM čvorovi	300
5.5.2.2	DCH čvorovi	301
5.5.3	Detalji armiranja čvorova	304
5.6	Detalji armiranja	305
5.6.1	Ukidanje podužnih šipki - pomjeranje zatezanja (<i>tension shift</i>)	305
5.6.2	Vođenje podužnih šipki	307
5.6.3	Sidrenje armature	308
5.6.4	Nastavljanje armature	310
5.6.4.1	Nastavljanje preklonom	310
5.6.4.2	Nastavljanje mehaničkim nastavcima i zavarivanjem	310
5.6.4.3	Zaključci u vezi nastavljanja armature	315
5.7	Ramovi sa zidanom ispunom	316
5.7.1	Generalno o zidanoj ispuni	316
5.7.2	Tretman nepovoljnih uticaja zidane ispune prema EC8-1	318
5.7.2.1	Neregularnost u osnovi objekta uslijed zidane ispune	318
5.7.2.2	Neregularnost po visini objekta uslijed zidane ispune	319
5.7.2.3	Lokalni uticaji zidova ispune na stubove s kojima su u kontaktu	320
5.7.3	Ograničenje oštećenja zidane ispune	323
5.7.4	Modeliranje zidane ispune	323
5.7.5	Zaključci u vezi sa ramovima sa zidanim ispunama	324
5.8	Računski primjer proračuna DCH rama	325
5.8.1	Seizmička analiza	326
5.8.2	Greda (40/50 cm)	331
5.8.2.1	Određivanje proračunskih momenata savijanja	332
5.8.2.2	Dimenzioniranje na uticaje savijanja (određivanje podužne armature)	333
5.8.2.3	Kontrola maksimalnih i minimalnih koeficijenata armiranja prema EC8-1	339
5.8.2.4	Određivanje proračunskih (mjerodavnih) smičućih sila	341
5.8.2.5	Dimenzioniranje na smicanje (određivanje poprečne armature)	341

5.8.2.6 Detalji armiranja poprečnom armaturom	346
5.8.3 Unutrašnji stub (50/50 cm)	348
5.8.3.1 Kontrola usvojenih dimenzija stubova	348
5.8.3.2 Određivanje mjerodavnih momenata savijanja	349
5.8.3.3 Dimenzionisanje na uticaje savijanja (određivanje podužne armature)	350
5.8.3.4 Određivanje proračunskih (mjerodavnih) smičućih sila	352
5.8.3.5 Obrada detalja u kritičnim zonama stuba	354
5.8.3.6 Proračun armature za smicanje	357
5.8.4 Spoljni stub (50/50 cm)	358
5.8.4.1 Kontrola usvojenih dimenzija stubova	358
5.8.4.2 Određivanje mjerodavnih momenata savijanja	358
5.8.4.3 Dimenzionisanje na uticaje savijanja (određivanje podužne armature)	359
5.8.4.4 Određivanje proračunskih (mjerodavnih) smičućih sila	361
5.8.4.5 Obrada detalja u kritičnim oblastima stuba	362
5.8.4.6 Proračun armature za smicanje	365
5.8.5 Unutrašnji čvor (čvor 2)	366
5.8.5.1 Horizontalna smičuća sila	366
5.8.5.2 Horizontalne uzengije unutar čvora	366
5.8.5.3 Vertikalna armatura unutar čvora	367
5.8.6 Spoljašnji čvor (čvor 1)	368
5.8.6.1 Horizontalna smičuća sila	368
5.8.6.2 Horizontalne uzengije unutar čvora	368
5.8.6.3 Vertikalna armatura unutar čvora	369
5.9 Računski primjer proračuna DCM rama	370
5.9.1 Seizmička analiza	370
5.9.2 Greda (40/50 cm)	373
5.9.2.1 Određivanje proračunskih momenata savijanja za dimenzionisanje	373
5.9.2.2 Dimenzionisanje na uticaje savijanja (određivanje podužne armature)	374
5.9.2.3 Kontrola maksimalnih i minimalnih koeficijenata armiranja po EC8-1.....	375
5.9.2.4 Određivanje proračunskih (mjerodavnih) smičućih sila	376
5.9.2.5 Dimenzionisanje na smicanje (određivanje poprečne armature).....	377
5.9.2.6 Detalji armiranja poprečnom armaturom	378
5.9.3 Unutrašnji stub (50/50 cm)	379
5.9.3.1 Kontrola usvojenih dimenzija stubova	379
5.9.3.2 Određivanje mjerodavnih momenata savijanja	379
5.9.3.3 Dimenzionisanje na uticaje savijanja (određivanje podužne armature)	380
5.9.3.4 Određivanje proračunskih (mjerodavnih) smičućih sila	380
5.9.3.5 Obrada detalja u kritičnim oblastima stuba	381
5.9.3.6 Proračun armature za smicanje	383
5.9.4 Spoljni stub (50/50 cm)	384
5.9.4.1 Kontrola usvojenih dimenzija stubova	384
5.9.4.2 Određivanje mjerodavnih momenata savijanja	384
5.9.4.3 Dimenzionisanje na uticaje savijanja (određivanje podužne armature)	385
5.9.4.4 Određivanje proračunskih (mjerodavnih) smičućih sila	386
5.9.4.5 Obrada detalja u kritičnim oblastima stuba	387
5.9.4.6 Proračun armature za smicanje	389

5.9.5 Detalji armiranja	389
5.9.5.1 Određivanje pomjeranja zatezanja kod grede	389
5.9.5.2 Određivanje dužine sidrenja kod greda	389
5.9.5.3 Preklop donje podužne armature greda	391
5.9.5.4 Poprečna armatura na mjestu preklopa armature greda	391
5.9.5.5 Preklop podužne armature unutrašnjeg stuba	392
5.9.5.6 Poprečna armatura na mjestu preklopa armature unutrašnjeg stuba	392
5.9.5.7 Planovi armature za proračunate elemente	393
5.10 Upoređenje proračuna ramova DCH i DCM klasa duktilnosti	395
6. Zidovi	399
6.1 Uvodna razmatranja	399
6.2 Položaj u osnovi i orientacija	404
6.3 Duktilni vitki zidovi	407
6.3.1 Ponašanje duktilnih vitkih zidova	407
6.3.1.1 Obezbjedenje duktilnog ponašanja	407
6.3.1.2 Ponašanje na savijanje	408
6.3.1.3 Bočno izvijanje zida	413
6.3.1.4 Ponašanje na smicanje	414
6.3.2 Proračun i dimenzionisanje duktilnih vitkih zidova	417
6.3.2.1 Usvajanje geometrije i dimenzija presjeka	417
6.3.2.2 Određivanje uticaja mjerodavnih za dimenzionisanje	422
6.3.2.3 Dimenzionisanje na savijanje	431
6.3.2.4 Dimenzionisanje na smicanje	433
6.3.3 Obrada detalja za lokalnu duktilnost	439
6.3.3.1 Visine kritične oblasti, h_{cr}	440
6.3.3.2 Faktor duktilnosti krivine μ_ϕ	441
6.3.3.3 Potrebni stepen utezanja $\alpha\omega_{wd}$ pravougaonog poprečnog presjeka	441
6.3.3.4 Dužina utegnutog ivičnog elementa, l_c	442
6.3.3.5 Potrebni stepen utezanja $\alpha\omega_{wd}$ složenog poprečnog presjeka	442
6.3.3.6 Usvajanje konfiguracije armature ivične zone zida i izračunavanje stepena utezanja $\alpha\omega_{wd}$	445
6.3.3.7 Procedura određivanja potrebnog utezanja u kritičnoj oblasti	446
6.4 Povezani zidovi	447
6.4.1 Uvodna razmatranja	447
6.4.2 Zidovi povezani pločom	450
6.4.3 Određivanje uticaja	451
6.4.3.1 Zidovi	451
6.4.3.2 Vezne greda	453
6.4.4 Proračun povezanih zidova	454
6.4.4.1 Proračun na savijanje	454
6.4.4.2 Proračun na smicanje	455
6.4.4.3 Detalj panelne zone	456
6.4.5 Ponašanje veznih greda	457
6.4.6 Proračun veznih greda	460
6.5 Duktilni niski zidovi	461
6.5.1 Ponašanje	461
6.5.2 Proračun	465

6.5.2.1 DCL i DCM niski zidovi	465
6.5.2.2 DCH niski zidovi	465
6.6 Veliki lakoarmirani zidovi	467
6.6.1 Ponašanje	467
6.6.2 Proračun	468
6.6.2.1 Nosivost na savijanje	469
6.6.2.2 Nosivost na smicanje	469
6.6.2.3 Oblikovanje detalja za lokalnu duktilnost	470
6.7 Zidovi sa nepravilnim položajem otvora	471
6.8 Dvojni sistemi	473
6.8.1 Definicije dvojnih sistema	473
6.8.2 Ponašanje	474
6.8.3 Proračun	475
6.9 Konstruktivni detalji i izvođačka pitanja	477
6.10 Računski primjer proračuna DCM duktilnog zida	480
6.10.1 Faktor ponašanja i osnovne karakteristike objekta	481
6.10.2 Uticaji u zidnom platnu P6	482
6.10.3 Proračunske vrijednosti materijala	483
6.10.4 Kontrola usvojenih dimenzija	484
6.10.5 Proračun na savijanje	484
6.10.5.1 Proračun na savijanje pomoću interakcionog dijagrama	484
6.10.5.2 Ručni proračun na savijanje	486
6.10.6 Proračun na smicanje	487
6.10.6.1 Provjera da li je zidnom platnu potrebna proračunska armatura za smicanje	487
6.10.6.2 Usvajanje horizontalne armature za smicanje	488
6.10.7 Oblikovanje detalja za lokalnu duktilnost	489
6.10.7.1 Visine kritične oblasti, h_{cr}	489
6.10.7.2 Potrebna vrijednost faktora duktilnosti krivine μ_ϕ	490
6.10.7.3 Potrebna vrijednost stepena utezanja $\alpha\omega_{wd}$	490
6.10.7.4 Određivanje dužine utegnutog ivičnog elementa l_c	491
6.10.7.5 Kontrola debljine utegnutog dijela presjeka zida b_w	492
6.10.7.6 Usvajanje konačne konfiguracije ivične zone zida	492
6.10.7.7 Kontrola usvojene konfiguracije armature ivičnih zona zida	493
6.10.8 Proračun zida iznad kritične oblasti	494
6.10.8.1 Proračun na savijanje	495
6.10.8.2 Proračun na smicanje	497
6.11 Računski primjer proračuna DCH duktilnog zida	498
6.11.1 Faktor ponašanja i osnovne karakteristike objekta	498
6.11.2 Uticaji u zidnom platnu P6	498
6.11.3 Proračunske vrijednosti materijala	499
6.11.4 Kontrola usvojenih dimenzija	500
6.11.5 Proračun na savijanje	500
6.11.6 Proračun na smicanje	500
6.11.6.1 Izračunavanje proračunske sile smicanja	500
6.11.6.2 Kontrola pritisnute dijagonale u rebru uslijed smicanja	501
6.11.6.3 Dijagonalni zatežući lom rebra uslijed smicanja	502
6.11.6.4 Lom uslijed smicanja klizanjem	505
6.11.7 Oblikovanje detalja za lokalnu duktilnost	506
6.11.7.1 Visine kritične oblasti, h_{cr}	506

6.11.7.2 Potrebna vrijednost faktora duktilnosti krivine μ_ϕ	506
6.11.7.3 Potrebna vrijednost stepena utezanja $\alpha\omega_{wd}$	507
6.11.7.4 Određivanje dužine utegnutog ivičnog elementa l_c	507
6.11.7.5 Usvajanje konačne konfiguracije ivične zone zida	508
6.11.7.6 Kontrola usvojene konfiguracije armature ivičnih zona zida	509
6.11.8 Proračun zida iznad plastičnog zgloba	510
6.11.8.1 Proračun na savijanje	510
6.11.8.2 Proračun na smicanje	511
6.11.9 Upoređenje DCM i DCH zida	512
6.12 Računski primjer proračuna povezanih DCM zidova	513
6.12.1 Faktor ponašanja i osnovne karakteristike objekta	514
6.12.2 Uticaji u zidovima	515
6.12.3 Proračunske vrijednosti materijala	515
6.12.4 Kontrola usvojenog sistema	516
6.12.5 Kontrola usvojenih dimenzija	517
6.12.6 Proračun na savijanje	517
6.12.7 Proračun na smicanje	520
6.12.7.1 Provera da li je zidnom platnu potrebna proračunska armatura za smicanje	520
6.12.7.2 Usvajanje armature za smicanje	521
6.12.8 Oblikovanje detalja za lokalnu duktilnost	522
6.12.8.1 Visine kritične oblasti, h_{cr}	522
6.12.8.2 Potrebna vrijednost faktora duktilnosti krivine μ_ϕ	522
6.12.8.3 Potrebna vrijednost stepena utezanja $\alpha\omega_{wd}$	523
6.12.8.4 Određivanje dužina utegnutog ivičnog elementa l_c	524
6.12.8.5 Usvajanje konačne konfiguracije ivične zone zida	524
6.12.8.6 Kontrola usvojene konfiguracije armature ivične zone zida	525
6.12.9 Proračun vezne grede	527
6.12.9.1 Uticaji u veznoj gredi	527
6.12.9.2 Kontrola da li treba armirati vezne grede dijagonalnom armaturom	527
6.12.9.3 Proračun veznih greda	528
6.12.10 Upoređenje usvajanja različitih krutosti veznih greda	530
7. Međuspratne tavanice	533
7.1 Uvodna razmatranja	533
7.2 Klasifikacija međuspratnih tavanica	535
7.3 Elementi međuspratne tavanice	538
7.4 Određivanje sile u tavanicama	540
7.4.1 Inercijalne sile	540
7.4.2 Sile transfera	542
7.5 Određivanje uticaja u tavanicama	544
7.6 Dimenzionisanje i obrada detalja	546
7.6.1 Proračun na savijanje	546
7.6.2 Proračun na smicanje	548
7.6.3 Proračun kolektora	549
7.7 Konstruktivni detalji	551
7.8 Računski primjer seizmičkog proračuna međuspratne tavanice	553
7.8.1 Određivanje proračunskih sile za tavanice	554
7.8.2 Određivanje uticaja u tavanici 11. sprata	555
7.8.3 Dimenzionisanje tavanice 11. sprata na uticaje u svojoj ravni	557

7.8.3.1 Proračun na savijanje	557
7.8.3.2 Proračun na smicanje	559
7.8.3.3 Proračun kolektora	560
7.9 Računski primjer seizmičkog proračuna međuspratne tavanice - analiza sila transfera	562
7.9.1 Određivanje proračunskih sila za dijafragme	562
7.9.2 Određivanje uticaja u tavanici drugog sprata	563
7.9.3 Dimenzionisanje tavanice drugog sprata na uticaje u svojoj ravni	566
7.9.3.1 Proračun na savijanje	566
7.9.3.2 Proračun na smicanje	567
7.9.3.3 Proračun kolektora	568
8. Fundiranje	571
8.1 Uvod	571
8.2 Dinamičke karakteristike tla	572
8.2.1 Parametri čvrstoće	572
8.2.2 Parametar krutosti	573
8.2.3 Mjerenje dinamičkih karakteristika tla	574
8.3 Osnovni principi konstruisanja temelja	576
8.4 Osnovni tipovi temelja	578
8.4.1 Plitki temelji	578
8.4.1.1 Temelji samci s veznim gredama	579
8.4.1.2 Temeljne grede	581
8.4.1.3 Trakasti temelji	581
8.4.1.4 Temeljne ploče	582
8.4.1.5 Kutijaste (box) temeljne konstrukcije	582
8.4.2 Duboki temelji	583
8.5 Interakcija tlo - konstrukcija	584
8.5.1 Uvod	584
8.5.2 Kinematička interakcija	585
8.5.3 Inercijalna interakcija	585
8.5.4 Deformabilnost temelja	586
8.5.5 Kada uzeti interakciju tlo-konstrukcija u račun	586
8.6 Modeliranje	587
8.7 Proračun temeljnog tla	590
8.7.1 Transfer uticaja sa temeljne konstrukcije na tlo	591
8.7.1.1 Horizontalne sile	591
8.7.1.2 Normalne sile i momenti savijanja	592
8.7.2 Kontrola loma uslijed klizanja	593
8.7.3 Kontrola loma uslijed gubitka nosivosti tla	593
8.8 Proračun temelja	594
8.8.1 Različiti pristupi projektovanju temelja	594
8.8.2 Određivanje proračunskih uticaja	595
8.8.3 Specifični zahtjevi za pojedine temelje	597
8.8.4 Zaključci u vezi dimenzionisanja temelja	601
8.9 Konstruktivni detalji i izvođačka pitanja	601
8.10 Računski primjer proračuna temeljne grede	603
8.10.1 Uticaji u temeljnoj gredi	604
8.10.2 Određivanje proračunskih uticaja	606

8.10.3 Dimenzionisanje na uticaje savijanja (određivanje podužne armature)	606
8.10.4 Dimenzionisanje na smicanje (određivanje poprečne armature)	607
8.10.5 Proračun veze stub - temelj (čvorna zona)	609
8.10.6 Kontrola loma usljud smicanja na kontaktu tlo-temelj	612
8.10.7 Plan armature temeljne grede	613
Aneks A Proračun na smicanje	614
A.1 Mehanizmi prihvatanja smicanja	614
A.2 Elementi bez armature za smicanje	618
A.3 Elementi s armaturom za smicanje	620
Aneks B Pregled zahtjeva prema EC2-1-1 i EC8-1 za dimenzije presjeka i armaturu elemenata	625
B.1 Grede	625
B.2 Stubovi	627
B.3 Čvorovi	630
B.4 Duktilni zidovi	631
B.5 Temeljni elementi	634
Aneks C Primjenjene skraćenice i oznake	636
Literatura	653

PREDGOVOR

Ova knjiga bavi se analizom i proračunom seizmički otpornih armiranobetonskih zgrada. Seizmičko opterećenje razlikuje se od drugih po tome što se rijetko dešava tokom „životnog vijeka“ objekta, ali njegovo iznenadno djelovanje ima intenzitet koji može daleko prevazići sva druga opterećenja, izazivajući ponašanje elemenata konstrukcije van elastične oblasti. Istovremeno, specifičnost seizmičkog opterećenja jeste i u njegovom cikličnom i alternativnom karakteru. Ovakvim ponašanjem objekata obezbjeđenjem njihove seizmičke sigurnosti bavi se zemljotresno inženjerstvo, relativno mlada grana inženjerstva, koja se još uvijek intenzivno razvija. Paralelno s ovim, prave se i pokušaji da se najnovija saznanja, do kojih se dolazi u naučnoistraživačkim i stručnim krugovima, ali i preko lekcija kojim nas nauči svaki jači zemljotres, implementiraju u tehničke propise. U tom smislu, ova se knjiga u velikoj mjeri bazira na eurokodovima koji su u primjeni ne samo u zemljama Evropske unije, nego i u zemljama koje teže članstvu u ovoj organizaciji kao i u nekim zemljama izvan Evrope.

Edukacija studenata, projektovanje većeg broja armiranobetonskih objekata i sprovođenje naučnih istraživanja iz oblasti zemljotresnog inženjerstva motivisali su me za pripremu i izdavanje ove knjige. Knjiga je namijenjena kako studentima na master studijama Građevinskog fakulteta Univerziteta Crne Gore na studijskom programu Konstrukcije, tako i građevinskim inženjerima koji se bave projektovanjem i proračunom armiranobetonskih konstrukcija objekata visokogradnje u seizmičkim oblastima. Cilj je da se omogući čitaocu upoznavanje s ponašanjem armiranobetonskih zgrada na dejstvo jačih zemljotresa, a nakon toga, nuđenje uputstva kako i da se one modeliraju, analiziraju i konačno uspješno proračunaju. Inženjer koji gradi i projektuje na područjima koja imaju izražen seizmički hazard, trebalo bi da posjeduje dovoljno znanja da može objektima obezbijediti adekvatnu seizmičku sigurnost. Nadam se da će knjiga pomoći manje iskusnim inženjerima da se zainteresuju za oblast zemljotresnog inženjerstva i da ovladaju seizmičkim proračunom armiranobetonskih konstrukcija zgrada. Istovremeno, očekujem da i iskusniji inženjeri nađu interesantne oblasti u okviru kojih mogu da prodube svoje znanje.

Veliki broj riješenih primjera trebalo bi da čitaocima ove knjige olakša prihvatanje prezentirane oblasti i korišćenje eurokodova pri projektovanju armiranobetonskih zgrada u seizmičkim područjima. Pri ovome, gdje god je to bilo moguće, veći broj računskih primjera je riješen ručno kako bi se izbjegao efekat „crne

kutije“, koji je u određenoj mjeri uvijek prisutan pri upotrebi kompjuterskih programa. U knjizi su korišćeni aktuelni eurokodovi, i to dominantno Eurokod 8 - dio 1 (skraćeno: EC8-1) - Proračun seizmički otpornih konstrukcija, u kojem su data opšta pravila, seizmička dejstva i pravila za zgrade, kao i Eurokod 2 - dio 1-1 (skraćeno: EC2- 1-1) - Proračun betonskih konstrukcija, gdje su data opšta pravila i pravila za zgrade. Bez obzira na to što treba očekivati da će u budućnosti nova generacija eurokodova zamijeniti postojeću, knjiga ne bi trebalo da izgubi na kvalitetu jer je akcenat u njoj dominantno na objašnjenju seizmičkog ponašanja elemenata i konstruktivnih sklopova, pa tek onda na načinu kako su pojedina pitanja tretirana u eurokodovima. Naime, projektant koji shvati osnovne principe seizmičkog ponašanja, može znatno lakše preći s jednih na druge propise, to jest, u slučaju eurokodova, na njihovu novu generaciju. U svakom slučaju, eurokodove ne treba tretirati kao udžbenike iz kojih se može učiti proračun, i njihova upotreba ne može zamijeniti edukaciju inženjera, posebno iz oblasti zemljotresnog inženjerstva.

Radi uporedne analize, na dosta mjesta u knjizi osim eurokodova, navedene su odredbe i način proračuna drugih aktuelnih seizmičkih propisa, uglavnom američkih.

Knjiga je organizovana kroz osam poglavlja.

U uvodnom, prvom poglavlju, date su osnove dinamike konstrukcije koje su, prije svega, vezane za zemljotresno inženjerstvo, imajući u vidu da je za građevinskog inženjera, da bi mogao da uspješno projektuje i proračuna seizmički otpornu konstrukciju, neophodno da zna prirodu i način djelovanja zemljotresa na konstrukciju. Drugo poglavlje bavi se principima projektovanja, kao i načinima definisanja seizmičkog opterećenja. Glavna tema trećeg poglavlja jeste određivanje seizmičkih uticaja u konstrukciji. U okviru ovog poglavlja tretirane su: regularnosti u osnovi i po visini, modeliranje konstrukcije, različite metode seizmičkih analiza, kao i opis novije probabilističke analize seizmičke sigurnosti. Ponašanje konstitutivnih materijala: armature, betona kao i njihove veze, tretira se u poglavlju četiri. Najobimnija poglavlja pet i šest bave se konstruktivnim sistemima: ramovskim i sistemima sa zidovima. U okviru ovih poglavlja dat je veći broj detaljno riješenih primjera. Sedmo poglavlje tretira seizmičko ponašanje međuspratnih tavanica, a osmo se bavi temeljnim konstrukcijama.

Kako se čitav materijal u knjizi odnosi na armirani beton, pridjev armiranobetonski uglavnom je izbačen iz teksta kako bi se olakšalo i ubrzalo čitanje. Takođe, radi praktičnosti, umjesto punih naziva eurokodova korišćene su skraćenice. Bez obzira na to što su se koristili izvori iz različitih literatura, vodilo se računa da su oznake dominantno one iz eurokodova.

Osim osam poglavlja, knjiga sadrži i tri aneksa. U aneksu A analizirano je smicanje kod armiranobetonskih konstrukcija. Aneks B sadrži tabele u kojima je dat pregled zahtjeva prema eurokodovima EC2-1-1 i EC8-1 za dimenzije presjeka i armaturu različitih elemenata. Ove tabele trebalo bi da olakšaju projektantima upotrebu navedenih eurokodova. U aneksu C dat je spisak svih skraćenica i oznaka korišćenih u knjizi.

Na kraju, autor bi htio da se zahvali sljedećim osobama koje su, na različite načine, pomogle u pripremi ove knjige:

- Recenzentima prof. dr Đordju Lađinoviću, dipl.inž.građ. i prof. dr Mladenu Uličeviću, dipl.inž.građ. na pažljivom čitanju i datim komentarima.
- Kolegama, dr Zvonku Tomanoviću, dr Jeleni Pejović, dr Biljani Šćepanović, dr Nikoli Baši i Tomu Kneževiću, koji su svojim komentarima i sugestijama u okviru pojedinih poglavlja svakako doprinijeli boljem kvalitetu knjige;
- Goranu Pavloviću na velikom uloženom trudu na grafičkoj obradi i pripremi teksta za štampu;
- Borisu Jevriću na finalnoj obradi slika;
- Nađi Durković na detaljnoj lekturi teksta;
- Andriji Jankoviću na izradi korica knjige.

Veliku zahvalnost na finansijskoj pomoći dugujem:

- Fondaciji Profesor Arsenije Vujović
- Inženjerskoj komori Crne Gore
- Preduzeću FRAME Project doo

Podgorica
februar 2022.

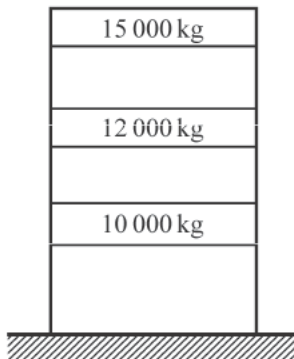
Srđan Janković

1.3.3.1 Riješeni primjer određivanja sopstvenih kružnih frekvencija, perioda i oblika oscilovanja za sistem sa tri stepena slobode

Za dati ram potrebno je odrediti sopstvene kružne frekvencije, periode i oblike oscilovanja.

1. Ulazni podaci

Data je shema trospatne konstrukcije čije su spratne mase prikazane na slici 1.34, (Kramer, 1996).

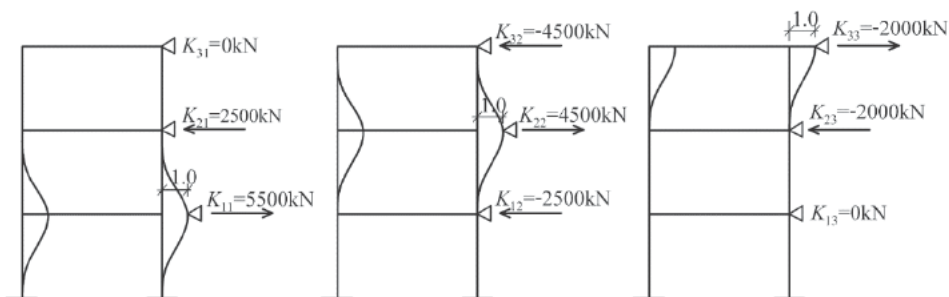


Slika 1.34 Izgled trospatnog rama

Matrica masa za dati sistem glasi:

$$M = 1000 \begin{bmatrix} 10 & 0 & 0 \\ 0 & 12 & 0 \\ 0 & 0 & 15 \end{bmatrix} \text{ kg}$$

Matrica krutosti može se odrediti aplicirajući jedinično pomjeranje na svakom spratu (s nultim pomjeranjima na drugim spratovima) i izračunavajući odgovarajuće spratne sile – horizontalne reakcije na osloncima (slika 1.35).



Slika 1.35 Izračunavanje elemenata matrice krutosti

Pomoću ove procedure dobija se matrica krutosti:

$$K = 1000 \cdot 10^6 \begin{bmatrix} 5.5 & -2.5 & 0 \\ -2.5 & 4.5 & -2.0 \\ 0 & -2.0 & 2.0 \end{bmatrix} \text{ N/m}$$

2. Određivanje sopstvenih kružnih frekvencija i sopstvenih perioda

Znajući matrice masa i krutosti može se izračunati:

$$K - \omega^2 M = 1000 \cdot 10^6 \begin{bmatrix} 5.5 - 10\alpha & -2.5 & 0 \\ -2.5 & 4.5 - 12\alpha & -2.0 \\ 0 & -2.0 & 2.0 - 15\alpha \end{bmatrix}, \text{ gdje je } \alpha = \frac{\omega^2}{1000}$$

Izjednačavajući determinantu sa nulom $|K - \omega^2 M| = 0$ dobija se jednačina: $1800\alpha^3 - 1905\alpha^2 + 459\alpha - 15 = 0$. Rješenja ove jednačine su $\alpha_1 = 0.0386$, $\alpha_2 = 0.300$, $\alpha_3 = 0.7197$. Imajući u vidu relaciju između α i ω , sopstvene kružne frekvencije sistema su:

$$\begin{Bmatrix} \omega_1^2 \\ \omega_2^2 \\ \omega_3^2 \end{Bmatrix} = \begin{Bmatrix} 38.6 \\ 300.0 \\ 719.7 \end{Bmatrix} \Rightarrow \begin{Bmatrix} \omega_1 \\ \omega_2 \\ \omega_3 \end{Bmatrix} = \begin{Bmatrix} 6.21 \\ 17.62 \\ 26.83 \end{Bmatrix} \frac{\text{rad}}{\text{sec}}$$

Znajući relaciju između sopstvene periode T i sopstvene kružne frekvencije ω datu sa izrazom (1.13) dobija se :

$$\begin{Bmatrix} T_1 \\ T_2 \\ T_3 \end{Bmatrix} = \begin{Bmatrix} 1.01 \\ 0.36 \\ 0.23 \end{Bmatrix} \text{ sec}$$

3. Određivanje sopstvenih oblika oscilovanja

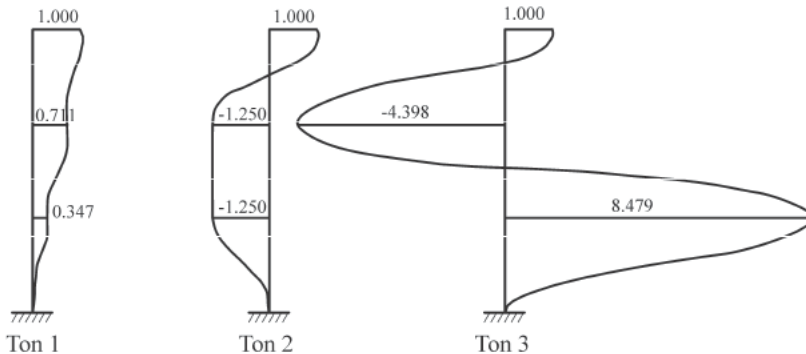
Zamjenom vrijednosti sopstvene kružne frekvencije prvog tona u jednačinu sopstvenih vrijednosti (1.83), dobija se:

$$1000 \cdot 10^6 \begin{bmatrix} 5.114 & -2.5 & 0 \\ -2.5 & 4.037 & -2.0 \\ 0 & -2.0 & 1.421 \end{bmatrix} \begin{Bmatrix} \phi_{11} \\ \phi_{21} \\ \phi_{31} \end{Bmatrix} = \begin{Bmatrix} 0 \\ 0 \\ 0 \end{Bmatrix}$$

Normalizujući vektor ϕ_i tako da je pomjeranje najvišeg sprata jednako 1 ($\phi_{31} = 1$), mogu se odrediti vrijednosti za ϕ_{21} i ϕ_{11} . Ovaj proces se može ponoviti za sva tri tona oscilovanja, nakon čega se dobijaju tri sopstvena oblika oscilovanja:

$$\phi_1 = \begin{pmatrix} \phi_{11} \\ \phi_{21} \\ \phi_{31} \end{pmatrix} = \begin{pmatrix} 0.347 \\ 0.711 \\ 1.000 \end{pmatrix}, \quad \phi_2 = \begin{pmatrix} \phi_{12} \\ \phi_{22} \\ \phi_{32} \end{pmatrix} = \begin{pmatrix} -1.250 \\ -1.250 \\ 1.000 \end{pmatrix}, \quad \phi_3 = \begin{pmatrix} \phi_{13} \\ \phi_{23} \\ \phi_{33} \end{pmatrix} = \begin{pmatrix} 6.479 \\ -4.398 \\ 1.000 \end{pmatrix}$$

Sopstveni oblici oscilovanja za sva tri tona grafički su prikazana na slici 1.36.



Slika 1.36 Sopstveni oblici oscilovanja i odgovarajuće sopstvene periode za tri tona oscilovanja

1.3.4 Modalna analiza

Diferencijalne jednačine (1.65) i (1.78) predstavljaju sistem vezanih jednačina koji treba rješavati kao cjelinu. Ako bi se uspjelo da se sistem jednačina transformiše tako da pojedine jednačine postanu međusobno nezavisne (nevezane), svaka jednačina bi se mogla rješavati za sebe, po metodama koje su navedene kod sistema s jednim stepenom slobode, uključujući i spektar odgovora. Očito je da jednačine postaju nevezane ako su sve matrice u jednačinama (1.65) i (1.78) dijagonalne.

Željenu transformaciju moguće je izvesti pomoću sopstvenih oblika vibracija sistema. Metoda, koja upotrebljava tu transformaciju, zove se *modalna analiza*. Drugi nazivi za ovu metodu jesu *metoda sa superpozicijom sopstvenih oblika* ili *metoda transformacije u glavne koordinate*. Metoda je zasnovana na principu superpozicije, pa je, zbog toga, upotrebljiva samo za linearne sisteme.

S obzirom na to da vektor ϕ_i opisuje samo oblik i -tog tona, pomjeranje u tom tonu $U_i(t)$ može se izraziti kao proizvod oblika tona ϕ_i i amplituda tona $Y_i(t)$ (za $Y_i(t)$, kažemo da su pomjeranja u normalnim ili glavnim koordinatama):

$$U_i(t) = \phi_i Y_i(t) \quad (1.86)$$

Sada se ukupno pomjeranje $U(t)$ može napisati kao linearna kombinacija svih sopstvenih oblika:

$$U(t) = \sum_{i=1}^n \phi_i Y_i(t) \quad (1.87)$$

Ako sa $Y(t)$ označimo vektor pojedinih oblika $Y_i(t)$ i sa ϕ označimo matricu sopstvenih vektora,

$$\phi = \begin{bmatrix} \phi_1 & \phi_2 & \dots & \phi_n \end{bmatrix} \quad (1.88)$$

onda se jednačina (1.87) može pisati u obliku:

$$U(t) = \phi Y(t) \quad (1.89)$$

Matematički gledano, jednačina (1.89) predstavlja transformaciju iz jednog koordinatnog sistema u drugi n -dimenzionalni koordinatni sistem. Vektor U je definisan u jednom sistemu, a Y u drugom.

Zamjenom jednačine (1.89) i njenih izvoda (vektori ϕ_i su nezavisni od vremena) u jednačinu (1.65) i množenjem svakog člana sa ϕ^T , dobija se transformisana jednačina:

$$\bar{M}\ddot{Y} + \bar{C}\dot{Y} + \bar{K}Y = \bar{F}(t) \quad (1.90)$$

gdje su:

$$\bar{M} = \phi^T M \phi \quad (1.91)$$

$$\bar{C} = \phi^T C \phi \quad (1.92)$$

$$\bar{K} = \phi^T K \phi \quad (1.93)$$

$$\bar{F} = \phi^T F \quad (1.94)$$

Jednačina (1.90) na prvi pogled slična je jednačini (1.65). Bitna razlika je u tome što su matrice \bar{M} i \bar{K} dijagonalne. Ovo je direktna posljedica uslova (1.84) i (1.85), to jest ortogonalnosti tonova. Pošto je cilj modalne analize da se sistem vezanih jednačina transformiše u sistem nevezanih jednačina, potrebno je prepostaviti takvu matricu prigušenja C koja transformacijom (1.92) prelazi u dijagonalnu matricu \bar{C} . Na ovoj način se matrična jednačina (1.90) raspada na sistem nevezanih jednačina istog tipa kao što je jednačina sistema s jednim stepenom slobode. Jednačina kretanja za i -ti ton glasi:

$$M_i \ddot{Y}_i + C_i \dot{Y}_i + K_i Y_i = F_i(t) \quad (1.95)$$

gdje su:

$$M_i = \phi_i^T M \phi_i \quad (1.96)$$

$$C_i = \phi_i^T C \phi_i \quad (1.97)$$

$$K_i = \phi_i^T K \phi_i \quad (1.98)$$

$$F_i = \phi_i^T F \quad (1.99)$$

Sada, analogno kao kod sistema s jednim stepenom slobode, usvajajući da je:

$$K_i = \omega_i^2 M_i \quad (1.100)$$

$$C_i = 2\zeta_i \omega_i M_i \quad (1.101)$$

i dijeljeći jednačinu (1.95) sa M_i možemo dobiti jednačinu:

$$\ddot{Y}_i + 2\zeta_i \omega_i \dot{Y}_i + \omega_i^2 Y_i = \frac{F_i(t)}{M_i} \quad (1.102)$$

Kod zemljotresnog opterećenja, sprovodeći isti ovaj postupak, jednačina (1.78) postaje:

$$\ddot{Y}_i + 2\zeta_i \omega_i \dot{Y}_i + \omega_i^2 Y_i = -\frac{\phi_i^T M I}{M_i} \ddot{u}_g(t) = -\frac{L_i}{M_i} \ddot{u}_g(t) \quad (1.103)$$

gdje je :

$$L_i = \phi_i^T M I \quad (1.104)$$

Za svaki ton i vibracija, koji uzimamo u račun, postoji jedna jednačina. Rješenje jednačine pomoću Duhamelovog integrala, kao kod sistema s jednim stepenom slobode (vidi jednačine (1.28) i (1.29)), dobija se vremenski tok pomjeranja u glavnim koordinatama Y_i (amplituda vibracija u tonu i).

$$Y_i(t) = -\frac{\phi_i^T M I}{M_i} \frac{1}{\omega_i} \int_0^t \ddot{u}_g(\tau) e^{-\xi_i \omega_i (t-\tau)} \sin \omega_i (t-\tau) d\tau = -\frac{L_i}{M_i} \frac{1}{\omega_i} D_i(t) = -\Gamma_i \frac{1}{\omega_i} D_i(t) \quad (1.105)$$

gdje je sa $D_i(t)$ označen integral. Γ_i je faktor participacije definisan izrazom:

$$\Gamma_i = \frac{L_i}{M_i} = \frac{\phi_i^T M I}{\phi_i^T M \phi_i} \quad (1.106)$$

Izraz (1.105) sličan je izrazu za pomjeranje s jednim stepenom slobode (1.29), izuzev faktora participacije Γ_i . Taj faktor je skalar koji može poslužiti kao ocjena uticaja pojedinih tonova vibracija na cijelokupno pomjeranje. Ukupna pomjeranja u osnovnom koordinatnom sistemu $U(t)$ dobijaju se pomoću superpozicije doprinosu pojedinih tonova (formule (1.87) i (1.89)).

Metoda modalne analize omogućava jednu za praksu veoma značajnu aproksimaciju. Obično značajan uticaj na odgovor sistema ima samo nekoliko nižih tonova. Često je postignuta zadovoljavajuća tačnost čak ako se uzme u obzir samo jedan, osnovni ton. Iz tih razloga se umjesto jednačine (1.87) u praksi često upotrebljava transformacija:

$$U(t) = \sum_{i=1}^m \phi_i Y_i(t), \quad \text{gdje je } m \ll n \quad (1.107)$$

Izračunata pomjeranja se mogu upotrijebiti da se izračunaju takozvane ekvivalentne statičke sile $F_S(t)$, koje će, ako se primijene kao statičko opterećenje, proizvesti pomjeranja $U(t)$:

$$F_s(t) = KU(t) = K\phi Y(t) = K \sum_{i=1}^n \phi_i Y_i(t) \quad (1.108)$$

Unutrašnje sile (uticaji) mogu biti izračunate pomoću statičke analize konstrukcije opterećene ovim ekvivalentnim statičkim silama.

1.3.4.1 Riješeni primjer upotrebe modalne analize

Koristeći modalnu analizu, definisati nezavisne jednačine po pojedinim tonovima i izračunati doprinos pojedinih tonova na odgovor sistema prikazanog u riješenom primjeru datog u 1.3.3.1.

Rješenje:

Iz primjera 1.3.3.1 uzimaju se vrijednosti za matricu masa M i sopstvene oblike oscilovanja pojedinih tonova. Za prvi ton, koristeći jednačine (1.96) i (1.104) može se isračunati:

$$M_1 = \phi_1^T M \phi_1 = (1000 \text{ kg}) \begin{Bmatrix} 0.347 & 0.711 & 1.000 \end{Bmatrix} \begin{Bmatrix} 10 & 0 & 0 \\ 0 & 12 & 0 \\ 0 & 0 & 15 \end{Bmatrix} \begin{Bmatrix} 0.347 \\ 0.711 \\ 1.000 \end{Bmatrix} = 22\ 270 \text{ kg}$$

$$\begin{aligned} L_1 &= \phi_1^T M I = m_1 \phi_{11} + m_2 \phi_{21} + m_3 \phi_{31} = \\ &= (10\ 000)(0.347) + (12\ 000)(0.711) + (15\ 000)(1.000) = 27\ 002 \text{ kg} \end{aligned}$$

Napomena: Na datom sistemu lako se može pokazati svojstvo ortogonalnosti tonova u odnosu na matricu masa: $\phi_i^T M \phi_j = 0$ za $i \neq j$, na primjer:

$$\phi_1^T M \phi_2 = (1000 \text{ kg}) \begin{Bmatrix} 0.347 & 0.711 & 1.000 \end{Bmatrix} \begin{Bmatrix} 10 & 0 & 0 \\ 0 & 12 & 0 \\ 0 & 0 & 15 \end{Bmatrix} \begin{Bmatrix} -1.250 \\ -1.250 \\ 1.000 \end{Bmatrix} = 0$$

Sada je faktor participacije za prvi ton jednak, jednačina (1.106):

$$\Gamma_1 = \frac{L_1}{M_1} = \frac{27\ 002 \text{ kg}}{22\ 270 \text{ kg}} = 1.212$$

Ako se sa $\ddot{u}_g(t)$ označi akcelerogram zemljotresa EL Centro, jednačina kretanja za prvi ton je data sa jednačinom (1.103):

$$\ddot{Y}_1 + 0.621 \dot{Y}_1 + 38.56 Y_1 = -1.212 \ddot{u}_g(t)$$

Ponavljajući ovaj postupak, faktori participacije za drugi i treći ton su:

$$\Gamma_2 = \frac{L_2}{M_2} = \frac{-12\ 500}{49\ 375} = -0.253 \quad \text{i} \quad \Gamma_3 = \frac{L_3}{M_3} = \frac{27\ 014}{666\ 883} = 0.041$$

pa se u skladu sa tim dobijaju jednačine kretanja za drugi i treći ton:

U slučaju međusobne zavisnosti pojedinih tonova, neophodno je koristiti tačnije metode kombinacije maksimalnih vrijednosti, kao što je metoda potpune kvadratne kombinacije (u literaturi se koristi oznaka CQC).

Vrlo je važno istaći da je pomoću formule (3.30) moguće kombinovati samo konačne vrijednosti (najčešće statičke uticaje), to jest nije dobro da se iz veličina kombinovanih pomoću ove formule (recimo spratnih seizmičkih sila) izračunavaju nove veličine (recimo statički uticaji). U ovom drugom slučaju dobijaju se obično nerealno velike vrijednosti jer se kvadriranjem gube predznaci.

3.3.3.1 Računski primjer upotrebe modalne analize sa spektrima odgovora

U skladu s odredbama pravilnika EC8-1, koristeći modalnu analizu sa spektrima odgovora, u ovom računskom primjeru biće izračunata maksimalna spratna pomjeranja i ukupne seizmičke sile po pojedinim tonovima sistema prikazanog u dijelu 1.3.3.1, s ulaznim podacima datim u dijelu 3.3.2.5. Faktori participacije za pojedine tonove koji će se ovdje primjenjivati izračunati su u dijelu 1.3.4.1.

Projektni spektar ubrzanja za analiziranu konstrukciju definisan je u dijelu 2.5.6, a ovdje je zbog praktičnosti ponovljen na slici 3.12, pa se ovdje mogu izračunati maksimalna ubrzanja konstrukcije po pojedinim tonovima i odgovarajući vektori spratnih pomjeranja.

1. Ponašanje sistema u 1. tonu

Iz računskih primjera prikazanih u djelovima 1.3.3.1 i 1.3.4.1 uzimaju se vrijednosti:

- kružne frekvencije $\omega_1 = 6.21 \text{ rad/sec}$
- periode oscilovanja prvog tona $T_1 = 2\pi/\omega_1 = 2\pi/6.21 = 1.01 \text{ sec}$
- faktora participacije $\Gamma_1 = 1.212$
- vektora oblika tona $\phi_1 = \begin{Bmatrix} \phi_{11} \\ \phi_{21} \\ \phi_{31} \end{Bmatrix} = \begin{Bmatrix} 0.347 \\ 0.711 \\ 1.000 \end{Bmatrix}$

Kako je ispunjen uslov za periodu oscilovanja $0.5 \leq 1.01 \text{ sec} \leq 2.0$, spektralno ubrzanje za prvi ton iznosi vidi, jednačinu (2.45):

$$S_d(T_1) = a_g \cdot S \cdot \frac{2.5}{q} \cdot \left[\frac{T_C}{T} \right] = 0.35 \cdot 9.81 \cdot 1.2 \cdot \frac{2.5}{3} \left[\frac{0.5}{1.01} \right] = 1.7 \frac{\text{m}}{\text{s}^2}$$

Ova vrijednost mogla se dobiti direktno sa dijagraama na slici 3.12. Sada je vektor spratnih pomjeranja u prvom tonu dat sa, izraz (3.27):

$$U_1 = (T_1/2\pi)^2 S_d(T_1) \Gamma_1 \phi_1 = \left(\frac{1.01}{2 \cdot \pi} \right)^2 \cdot 1.7 \cdot 1.212 \cdot \begin{Bmatrix} 0.347 \\ 0.711 \\ 1.000 \end{Bmatrix} = \begin{Bmatrix} 1.85 \\ 3.79 \\ 5.33 \end{Bmatrix} \text{cm}$$

Spratne sile u prvom tonu koje izazivaju ova pomjeranja mogu se izračunati na sljedeći način, izraz (3.29):

$$F_1 = M \phi_1 \Gamma_1 S_d(T_1) = 1000 \begin{bmatrix} 10 & 0 & 0 \\ 0 & 12 & 0 \\ 0 & 0 & 15 \end{bmatrix} \begin{bmatrix} 0.347 \\ 0.711 \\ 1.000 \end{bmatrix} \cdot 1.212 \cdot 1.7 = \begin{bmatrix} 7.15 \\ 17.58 \\ 30.91 \end{bmatrix} \text{kN}$$

Ukupna seizmička sila prvog tona lako se može dobiti sabirajući sile po pojedinim spratovima $F_{b,1} = 7.15 + 17.58 + 30.91 = 55.64 \text{ kN}$. Takođe, ukupna sila se može dobiti i preko efektivne mase kako slijedi. Efektivna modalna masa koja je data formulom

$$M_i^{ef} = \frac{(\phi_i^T M I)^2}{\phi_i^T M \phi_i}, \text{ za prvi ton iznosi:}$$

$$M_1^{ef} = \frac{(27002)^2}{22270} = 32740 \text{ kg, ili } 32740 / 37000 = 88.5\% \text{ od ukupne mase}$$

pa je ukupna seizmička sila prvog tona:

$$F_{b,1} = S_d(T_1) \cdot M_1^{ef} = 1.7 \cdot 32740 = 55.66 \text{ kN}$$

2. Ponašanje sistema u 2. tonu

Iz računskih primjera prikazanih u djelovima 1.3.3.1 i 1.3.4.1 uzimaju se vrijednosti:

- kružne frekvencije $\omega_2 = 17.62 \text{ rad/sec}$
- periode oscilovanja drugog tona $T_2 = 2\pi/\omega_2 = 2\pi/17.62 = 0.36 \text{ sec}$
- faktora participacije $\Gamma_2 = 0.253$
- vektora oblika tona $\phi_2 = \begin{bmatrix} \phi_{12} \\ \phi_{22} \\ \phi_{32} \end{bmatrix} = \begin{bmatrix} -1.250 \\ -1.250 \\ 1.000 \end{bmatrix}$

Kako je ispunjen uslov za periodu oscilovanja $0.15 \leq 0.36 \text{ sec} \leq 0.5$, spektralno ubrzanje za drugi ton iznosi, izraz (2.44):

$$S_d(T_2) = a_g \cdot S \cdot \frac{2.5}{q} = 0.35 \cdot 9.81 \cdot 1.2 \cdot \frac{2.5}{3} = 3.43 \frac{\text{m}}{\text{s}^2} \text{ (vidi sliku 3.12)}$$

Sada je vektor spratnih pomjeranja u drugom tonu dat sa, izraz (3.27):

$$U_2 = (T_2/2\pi)^2 S_d(T_2) \Gamma_2 \phi_2 = \left(\frac{0.36}{2 \cdot \pi} \right)^2 \cdot 3.43 \cdot 0.253 \cdot \begin{bmatrix} -1.250 \\ -1.250 \\ 1.000 \end{bmatrix} = \begin{bmatrix} -1.42 \\ -1.42 \\ 1.14 \end{bmatrix} \text{ cm}$$

Spratne sile u drugom tonu koje izazivaju ova pomjeranja mogu se izračunati na sljedeći način, izraz (3.29):

$$F_2 = M \phi_2 \Gamma_2 S_d(T_2) = 1000 \begin{bmatrix} 10 & 0 & 0 \\ 0 & 12 & 0 \\ 0 & 0 & 15 \end{bmatrix} \begin{bmatrix} -1.25 \\ -1.25 \\ 1.000 \end{bmatrix} \cdot 0.253 \cdot 3.43 = \begin{bmatrix} -10.8 \\ -13.01 \\ 13.02 \end{bmatrix} \text{ kN}$$

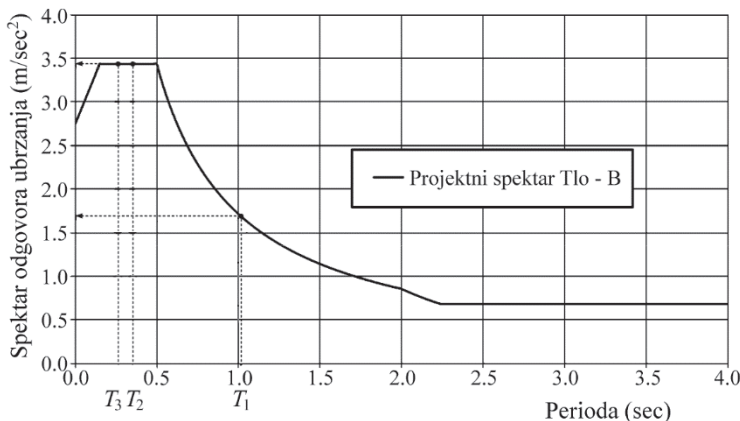
Ukupna seizmička sila drugog tona je jednaka $F_{b,2} = -10.8 - 13.01 + 13.02 = -10.79 \text{ kN}$. Istovremeno, efektivna modalna masa za drugi ton iznosi:

$$M_2^{ef} = \frac{(12500)^2}{49375} = 3165 \text{ kg ili } 3165 / 37000 = 8.5\% \text{ od ukupne mase}$$

pa je ukupna seizmička sila drugog tona:

$$F_{b,2} = S_d(T_2) \cdot M_2^{ef} = 3.43 \cdot 3165 = 10.86 \text{ kN}$$

Manja odstupanja u vrijednostima ukupne seizmičke sile drugog tona, izračunate na dva različita načina, su uslijed zaokruživanja decimalnih brojeva. Takođe, znak kod ove sile ne igra nikakvu ulogu.



Slika 3.12 Projektne spektralne vrijednosti ubrzanja za sva tri tona

3. Ponašanje sistema u 3. tonu

Iz računskih primjera prikazanih u djelovima 1.3.3.1 i 1.3.4.1 uzimaju se vrijednosti:

- kružne frekvencije $\omega_3 = 26.83 \text{ rad/sec}$
- periode oscilovanja trećeg tona $T_3 = 2\pi/\omega_3 = 2\pi / 26.83 = 0.23 \text{ sec}$
- faktora participacije $\Gamma_3 = 0.041$
- vektora oblika tona $\phi_3 = \begin{Bmatrix} \phi_{13} \\ \phi_{23} \\ \phi_{33} \end{Bmatrix} = \begin{Bmatrix} 6.479 \\ -4.398 \\ 1.000 \end{Bmatrix}$

Kako je ispunjen uslov za periodu oscilovanja $0.15 \leq 0.23 \text{ sec} \leq 0.5$, spektralno ubrzanje za treći ton iznosi, izraz (2.44):

$$S_d(T_3) = a_g \cdot S \cdot \frac{2.5}{q} = 0.35 \cdot 9.81 \cdot 1.2 \cdot \frac{2.5}{3} = 3.43 \frac{\text{m}}{\text{s}^2} \quad (\text{vidi sliku 3.12})$$

Sada je vektor spratnih pomjeranja u trećem tonu dat sa:

$$U_3 = (T_3/2\pi)^2 S_d(T_3) \Gamma_3 \phi_3 = \left(\frac{0.23}{2 \cdot \pi} \right)^2 \cdot 3.43 \cdot 0.041 \cdot \begin{Bmatrix} 6.479 \\ -4.398 \\ 1.000 \end{Bmatrix} = \begin{Bmatrix} 0.48 \\ -0.32 \\ 0.07 \end{Bmatrix} \text{cm}$$

Spratne sile u trećem tonu koje izazivaju ova pomjeranja mogu se izračunati na sljedeći način, izraz (3.29):

$$F_3 = M \phi_3 \Gamma_3 S_d(T_3) = 1000 \begin{bmatrix} 10 & 0 & 0 \\ 0 & 12 & 0 \\ 0 & 0 & 15 \end{bmatrix} \begin{Bmatrix} 6.479 \\ -4.398 \\ 1.000 \end{Bmatrix} \cdot 0.041 \cdot 3.43 = \begin{Bmatrix} 9.11 \\ -7.42 \\ 2.11 \end{Bmatrix} \text{kN}$$

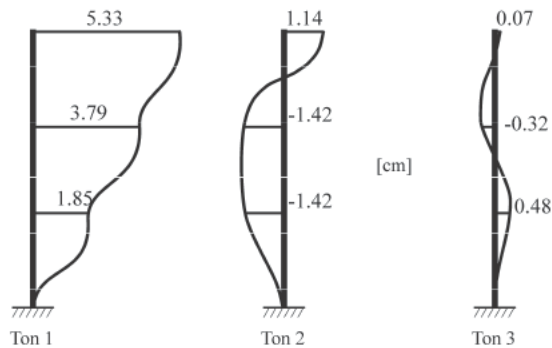
to jest ukupna seizmička sila trećeg tona iznosi $F_{b,3} = 9.11 - 7.42 + 2.11 = 3.80 \text{ kN}$. Drugi način izračunavanja ove sile je preko efektivne modalne mase koja za treći ton iznosi:

$$M_3^{ef} = \frac{(27014)^2}{666663} = 1095 \text{ kg} \quad \text{ili } 1095 / 37000 = 3\% \text{ od ukupne mase}$$

pa je ukupna seizmička sila trećeg tona:

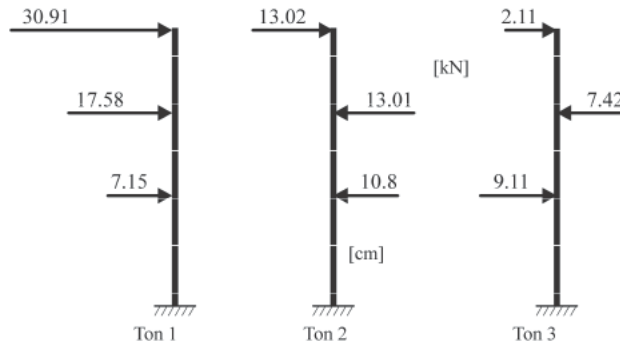
$$F_{b,3} = S_d(T_3) \cdot M_3^{ef} = 3.43 \cdot 1095 = 3.75 \text{ kN}$$

Vidi se da je zbir sve tri efektivne modalne mase jednak ukupnoj masi sistema: $m = 32740 + 3165 + 1095 = 37000 \text{ kg}$. Na primjeru ove zgrade takođe se može vidjeti da je pri primjeni modalne analize sa spektrima odgovora bilo dovoljno uzeti u račun samo prva dva tona s obzirom na to da je zbir efektivnih masa za prva dva tona iznosio 97%, to jest bio veći od 90% od ukupne efektivne mase objekta i da je efektivna masa trećeg tona bila manja od 5% od ukupne mase.



Slika 3.13 Maksimalna spratna pomjeranja po pojedinim tonovima

Na slici 3.13 prikazana su maksimalna spratna pomjeranja, a na slici 3.14 maksimalne spratne sile po pojedinim tonovima.



Slika 3.14 Maksimalne spratne sile po pojedinim tonovima

3.3.4 Statička nelinearna (Pushover) analiza

Sve donedavno pri projektovanju objekata u seizmičkim područjima akcenat u seizmičkim pravilnicima bio je na upotrebi linearnih metoda analiza. Razlog je bio u činjenici da je bilo kakva nelinearna analiza bila previše komplikovana za primjenu i s aspekta limitirajućih sposobnosti tadašnjih kompjutera i s aspekta teškoća pri modeliranju nosivosti i krutosti kod nelinearnih modela. Međutim, danas su, uz odgovarajuću tačnost i upotrebljivost, neke relativno jednostavnije nelinearne metode inkorporirane u seizmičke pravilnike.

Najpoznatija među njima je statička *pushover analiza* koja u stvari predstavlja pojednostavljenu nelinearnu analizu pomoći koje se procjenjuje odgovor sistema na dejstvo zemljotresa. Ovakva jedna analiza svakako je manje tačna od nelinearne dinamičke analize, ali za razliku od linearnih metoda analiza, ipak može ukazati na lokacije kritičnih mesta gdje se mogu očekivati veće nelinearne deformacije kao i na globalno ponašanje konstrukcije u nelinearnom području. Osim ovoga, pushover analiza se može upotrijebiti i za verifikaciju faktora ojačanja datog sa α_u / α_1 koji se upotrebljava prilikom definisanja vrijednosti faktora ponašanja q (vidi dio 2.3.2).

Primjenom pushover analize dobija se ponašanje nelinearnog matematičkog modela opterećenog *monotonim rastućim horizontalnim silama*, sve do dostizanja prethodno definisanog takozvanog *ciljnog pomjeranja*, d_t . Ciljno pomjeranje je, u stvari, procjena maksimalnog pomjeranja vrha objekta pri dejstvu projektnog zemljotresa. Horizontalno opterećenje se povećava inkrementalno, tako da se u okviru svakog inkrementa vrši ažuriranje karakteristika nosivosti i krutosti elemenata. Da bi se na neki način obuhvatile promjene opterećenja po visini objekta koje se pri pojavi plastičnih deformacija realno javljaju, prema EC8-1, 4.3.3.4.2.2.(1), moraju se analizirati barem dvije vertikalne raspodjele bočnog opterećenja. To je „ravnomjerna“ raspodjela, zasnovana na bočnim silama koje su proporcionalne masama, bez obzira na visinski položaj, i „modalna“ raspodjela s bočnim silama koje su u skladu s raspodjelom bočnih sile određenih u elastičnoj analizi.

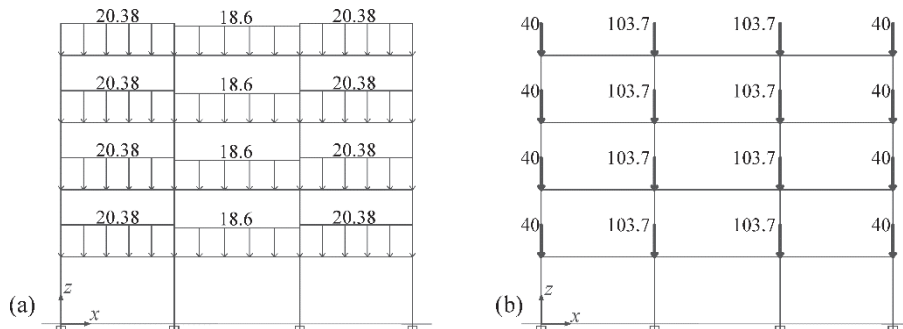
$$d_t^* = \mu d_y^* = \frac{d_{et}^*}{q_u} \left(1 + (q_u - 1) \frac{T_C}{T^*} \right) \quad (3.49)$$

Na kraju se ciljno pomjeranje d_t^* sistema SDOF transformiše u ciljno pomjeranje d_t sistema MDOF pomoću jednačine (3.37a).

Znajući da ciljno pomjeranje d_t predstavlja procijenjenu srednju vrijednost pri dejstvu projektnog zemljotresa i da postoji nezaobilazno rasipanje rezultata oko srednje vrijednosti, poželjno je ispitati ponašanje objekta i za vrijednosti pomjeranja koja prevazilaze ciljno pomjeranje d_t . Zbog toga je u članu EC8-1, 4.3.3.4.2.3(1) propisano da se pushover kriva mora odrediti najmanje za pomjeranja koja odgovaraju 150% ciljnog pomjeranja.

3.3.4.3 Računski primjer pushover analize prema EC8-1

Na primjeru četvorospratnog trorasponskog armiranobetonskog rama biće sprovedena pushover (nelinearna statička) analiza. Usvojena je lokacija s efektivnim maksimalnim ubrzanjem tla $a_g = 0.36g$ za povratni period od 475 godina. Ram je fundiran na tlu tipa A. Spratna visina je ista za sve spratove i iznosi 3.2 m. Rasteri su 5.4, 6.0 i 5.4 m. Usvojena je srednja klasa duktilnosti DCM. Usvojene su dimenzije greda $b/d = 25/50$ cm i stubova $b/d = 40/40$ cm. Stalno opterećenje je dano na slici 3.16. Promjenljivog opterećenja nema. Usvojen je beton klase C25/30 i armatura klase B400B.



Slika 3.16. Stalno opterećenje: (a) linijsko opterećenje na gredama (kN/m); (b) koncentrisano opterećenje u čvorovima (kN)

1. Osnovni podaci o ramu

U sljedećoj tabeli su date mase, težine i seizmičke sile po spratovima, kao i oblik prvog tona, sve dobijeno analizom koristeći program ETABS. Na osnovu odgovarajućih seizmičkih sila i gravitacionog opterećenja, dobijeni su uticaji u svim elementima koji su dalje bili predmet detaljnog proračuna i dimenzionisanja prema odgovarajućim odredbama pravilnika EC2-1-1 i EC8-1. U ovom primjeru se neće davati detaljniji proračun rama prema EC8-1, već se čitalac upućuje na računske primjere date u poglavljima 5.8 i 5.9.

Sprat	Visina (m)	Masa (kNs ² /m)	Težina (kN)	Seizmičke sile (kN)	1. ton (mm)	Normirani 1. ton
4	12.8	70.72	693.8	126.1	80.96	1.000
3	9.6	73.33	719.3	98.0	68.62	0.847
2	6.4	73.33	719.3	65.3	47.04	0.581
1	3.2	73.33	719.3	32.7	19.89	0.245
Ukupno		290.71	2851.7	322.1		

Na slici 3.17 date su dimenzije i usvojena podužna armatura kod svih elemenata armiranobetonskog rama.

Oznaka	Dim. (cm)	Grede		Stubovi	
		Armatura	Dim. (cm)	Armatura ⁽¹⁾	Armatura
1	25·50	6φ16 ⁽²⁾ 4φ16 ⁽³⁾	40·40	12φ19	
2	25·50	6φ16 ⁽²⁾ 3φ16 ⁽³⁾	40·40	8φ19	
3	25·50	5φ16 ⁽²⁾ 3φ16 ⁽³⁾	40·40	8φ16	
4	25·50	4φ16 ⁽²⁾ 2φ16 ⁽³⁾			
5	25·50	3φ16 ⁽²⁾ 2φ16 ⁽³⁾			

⁽¹⁾ armatura je ravnomjerno raspoređena po obimu

⁽²⁾ gornja armatura

⁽³⁾ donja armatura

Slika 3.17 Dimenzije i usvojena armatura kod greda i stubova rama

2. Konstruisanje pushover krive

Nakon dimenzionisanja svih elemenata sprovedena je 2D pushover analiza rama pomoću programa DRAIN-2DX (Prakash i ostali, 1993). Kod DRAIN-2DX modela korišćeni su elementi kod kojih su sve plastične deformacije skoncentrisane na krajevima elemenata. Efektivne krutosti na savijanje poprečnih presjeka usvojene su 50% od krutosti betonskog poprečnog presjeka bez prsline, i na taj način su efekti smanjenja krutosti uzeti u obzir zbog pojave prsline i tečenja zategnute armature. Matrica viskoznog prigušenja modelirana je kao linearna kombinacija matrice krutosti i matrice masa sa tako izabranim multiplikatorima da je za prvi i treći ton prigušenje iznosilo 5% od kritičnog. Uzeti su u obzir inicijalni momenti savijanja uslijed gravitacionog opterećenja prilikom računa. Takođe, pretpostavlja se da je eventualna zidana ispuna dilatirana od ramovske konstrukcije i da ne utiče na krutost i nosivost cijelog objekta.

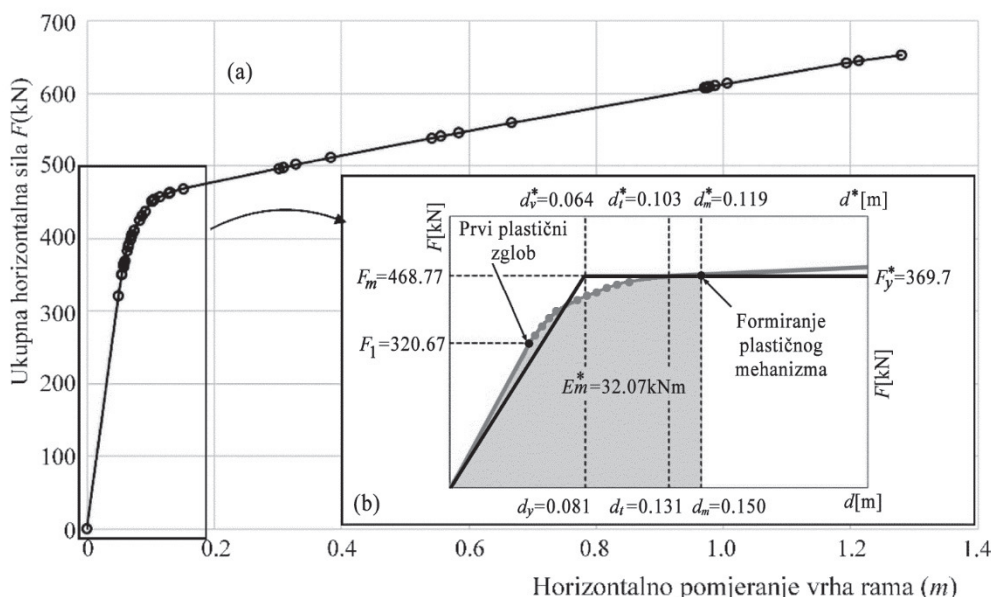
U plastičnim zglobovima za histerezisno ponašanje usvojen je bilinearni model s efektima ojačanja u plastičnoj oblasti, iako je u članu EC8-1, 4.3.3.4.1(3) dozvoljeno da se krutost nakon pojave tečenja može usvojiti kao da je jednaka nuli. Odnos krutosti u

plastičnoj zoni i krutosti do pojave tečenja zategnute armature u gredama se pri moment-krivina analizi poprečnih presjeka urađenih pomoću programa XTRACT (Chadwell, 2000) kretao od 0.021 do 0.027. Imajući u vidu da rezultati dinamičke analize nijesu u velikoj mjeri osjetljivi na varijaciju ovog parametra, ovdje je usvojena za sve grede konstantna vrijednost od 0.025.

Treba istaći da se osim programa XTRACT za analizu poprečnih presjeka i programa DRAIN-2DX za analizu cijele konstrukcije danas može koristiti čitavo mnoštvo raznih drugih komercijalnih softverskih aplikacija kao što su ETABS i SAP2000.

Primjenom pushover analize dobija se ponašanje nelinearnog modela opterećenog monotono rastućim horizontalnim silama, sve do dostizanja najmanje 150% prethodno definisanog takozvanog *ciljnog pomjeranja*, d_c , EC8-1, 4.3.3.4.2.3(1). Ciljno pomjeranje u stvari je procjena maksimalnog pomjeranja vrha objekta pri dejstvu projektnog zemljotresa. Horizontalno opterećenje se povećava inkrementalno tako da se u okviru svakog inkrementa vrši ažuriranje karakteristika nosivosti i krutosti elemenata. U ovom računskom primjeru usvojena je vertikalna distribucija horizontalnih sila, koja odgovara obliku oscilovanja 1. tona, EC8-1, 4.3.3.4.2.2(4). Da se čitav postupak ne bi prikazivao dva puta, druga distribucija horizontalnih sila, to jest „ravnomjerna“ raspodjela koja se zahtijeva istim ovim članom EC8-1, ovdje nije prikazana.

Na slici 3.18a prikazana je takozvana kriva kapaciteta ili pushover kriva, to jest zavisnost ukupne horizontalne seizmičke sile F od pomjeranja vrha analiziranog rama d , EC8-1, 4.3.3.4.2.3(2). Ram je guran sve do 10% od ukupne visine, to jest do vrijednosti od 1.28 m, što je daleko više nego što je ciljno pomjeranje (vidi dalje u tekstu). Svaki karakteristični znak na krivoj označava pojavu novog plastičnog zgloba u konstrukciji.



Slika 3.18 Pushover kriva: (a) do pomjeranja 10% od visine rama; (b) pushover kriva za domen od interesa (uvećani dio koji je uokviren)

Treba reći da se prilikom ove analize nijesu uzimali efekti drugog reda (P-delta efekti) u proračun pa zbog toga u plastičnoj oblasti pushover krive dominiraju efekti ojačanja, to jest sile rastu sa povećanjem pomjeranja. U slučaju da se P-delta efekti uzmu u obzir, postelastična linija imala bi tendenciju da bude horizontalna ili čak da ima trend opadanja (negativna krutost). U ovom smislu uporediti slike 3.15 i 3.18.

Određivanje ciljnog pomjeranja obavlja se korišćenjem elastičnog spektra odgovora, po proceduri predloženoj u aneksu B pravilnika EC8-1, EC8-1, 4.3.3.4.2.6(1). Zbog preglednosti na slici 3.18b prikazan je uveličani prvi dio grafika sa slike 3.18a, koji je u stvari interesantan s aspekta određivanja ciljnog pomjeranja.

3. Transformacija sistema MDOF u ekvivalentni SDOF sistem

Da bi po proceduri predloženoj u aneksu B pravilnika EC8-1 odredili ciljno pomjeranje sistema sa više stepeni slobode (MDOF), neophodno je sprovesti transformaciju na ekvivalentan sistem s jednim stepenom slobode (SDOF).

Na slici 3.18b ukupna horizontalna seizmička sila F za MDOF sistem prikazana je na vertikalnoj osi lijevo, a za SDOF sistem na vertikalnoj osi desno. Slično ovome, pomjeranja vrha analiziranog rama d posmatranog kao MDOF sistem prikazana su na horizontalnoj osi dolje, a za SDOF sistem na horizontalnoj osi gore. Sve oznake stepenovane zvjezdicom odnose se na ekvivalentni SDOF sistem.

Vektor oblika osnovnog tona, normalizovanog tako da pomjeranje na nivou zadnje etaže iznosi $\phi_4 = 1.0$ i vektor spratnih masa (u jedinicama kNs^2/m) MDOF sistema analiziranog rama glase (vidi tabelu u dijelu 3.3.4.3(1)):

$$\phi^T = [0.245, 0.581, 0.847, 1.000],$$

$$m^T = [73.33, 73.33, 73.33, 70.72]$$

Sada je masa ekvivalentnog SDOF sistema data izrazom (3.36):

$$m^* = \phi^T M I = \sum m_i \phi_i = 193.40 \frac{\text{kNs}^2}{\text{m}}$$

Veze između sile F^* i pomjeranja d^* ekvivalentnog SDOF sistema i smičuće sile u osnovi F i pomjeranja najgornje etaže d MDOF sistema respektivno, date su jednačinama (3.37a) i (3.37b), gdje je faktor transformacije Γ jednak, vidi izraz (3.39):

$$\Gamma = \frac{m^*}{\sum m_i \phi_i^2} = \frac{193.40}{152.48} = 1.268$$

Razlike u razmjeri kod x i y osa koje se odnose na MDOF i SDOF sisteme na slici 3.18b, jednake su faktoru transformacije Γ .

4. Konstruisanje bilinearne veze sile – pomjeranje

Da bi se moglo izračunati ciljno pomjeranje, neophodno je stvarnu vezu između sile i pomjeranja, prikazanu linijom s oznakama pojave plastičnih zglobova na slici 3.18b, idealizovati s bilinarnom vezom. Za to je neophodno prvo izračunati trenutak formiranja mehanizma (vidi sliku 3.19b). Na osnovu rezultata DRAIN-2DX analize može se vidjeti

da je za taj trenutak sila $F_m = 468.77$ kN i pomjeranje $d_m = 0.1504$ m. Ove se vrijednosti naravno odnose na MDOF sistem. Sili F_m odgovara sila $F_y^* = 369.7$ kN ekvivalentnog SDOF sistema, u skladu sa formulom (3.37b), koja istovremeno predstavlja i graničnu nosivost ekvivalentnog SDOF sistema. Početna krutost idealizovanog (bilinearnog) ekvivalentnog SDOF sistema može se dobiti izjednačavanjem površina ispod stvarne i bilinearne zavisnosti sila–pomjeranje (vidi sliku 3.18b). Pomjeranje na granici tečenja d_y^* ekvivalentnog SDOF sistema na osnovu ove pretpostavke dobija se pomoću sljedeće formule, EC8-1, B.3:

$$d_y^* = 2 \left(d_m^* - \frac{E_m^*}{F_y^*} \right)$$

gdje su:

- F_y^* sila tečenja (istovremeno i nosivost ekvivalentnog SDOF sistema), koja je jednaka smičućoj sili u osnovi pri formiranju plastičnog mehanizma
- E_m^* stvarna energija deformacije potrebna za formiranje plastičnog mehanizma (površina ispod stvarne zavisnosti sila – pomjeranje)
- d_m^* pomjeranje ekvivalentnog SDOF sistema pri formiranju plastičnog mehanizma

Znajući da je površina ispod stvarnog pushover dijagrama MDOF sistema do trenutka formiranja mehanizma jednaka $E_m = 51.56$ kNm (podatak dobijen iz DRAIN-D2X analize) može se lako sračunati E_m^* ekvivalentnog SDOF:

$$E_m^* = \frac{51.56}{1.268^2} = 32.07 \text{ kNm}$$

Takođe, koristeći formulu (3.37a), dobija se:

$$d_m^* = \frac{d_m}{1.268} = \frac{0.1504}{1.268} = 0.119 \text{ m}$$

Konačno, pomjeranje na granici tečenja d_y^* ekvivalentnog SDOF sistema jednako je:

$$d_y^* = 2 \left(d_m^* - \frac{E_m^*}{F_y^*} \right) = 2 \left(0.119 - \frac{32.07}{369.69} \right) = 0.064 \text{ m}$$

Period oscilovanja T^* ekvivalentnog SDOF sistema određen je sa (3.40):

$$T^* = 2\pi \sqrt{\frac{m^* d_y^*}{F_y^*}} = 2\pi \sqrt{\frac{193.40 \cdot 0.064}{369.69}} = 1.150 \text{ sec}$$

Interesantno je reći da perioda osnovnog tona MDOF sistema dobijenog pomoću programa ETABS iznosi: $T = 1.097$ sec i manja je od T^* bilinearnog ekvivalentnog SDOF

sistema, što je i logično jer, kao što se sa slike 3.18b može vidjeti, MDOF sistem ima veću početnu (elastičnu) krutost nego bilinearni ekvivalentni SDOF sistem.

Na ovaj način je izračunata pushover kriva za SDOF sistem. Sada treba izračunati ciljno pomjeranje.

5. Određivanje ciljnog pomjeranja d_t^*

S obzirom na to da je $T^* = 1.150$ sec $> T_C = 0.4$ sec za tlo tipa A, važi princip jednakih pomjeranja (vidi dio 1.2.4), pa je maksimalno pomjeranje plastičnog sistema d_t^* jednako pomjeranju elastičnog sistema d_{et}^* , jednačina (3.47), to jest $d_t^* = d_{et}^*$. Po definiciji d_{et}^* je jednako spektru pomjeranja S_{De} koje je na osnovu jednačine (1.37) dato u zavisnosti od elastičnog spektra ubrzanja S_e kao $S_{De} = S_e / \omega^2$. Znajući da je kružna frekvencija jednaka $\omega = 2\pi / T$, jednačina (1.13), sada se može izračunati ciljno pomjeranje d_t^* SDOF sistema sa periodom T^* i neograničenim elastičnim ponašanjem, izrazi (3.41) i (3.47):

$$d_t^* = d_{et}^* = S_e(T^*) \left[\frac{T^*}{2\pi} \right]^2 = 3.07 \left[\frac{1.150}{2\pi} \right]^2 = 0.103 \text{ m}$$

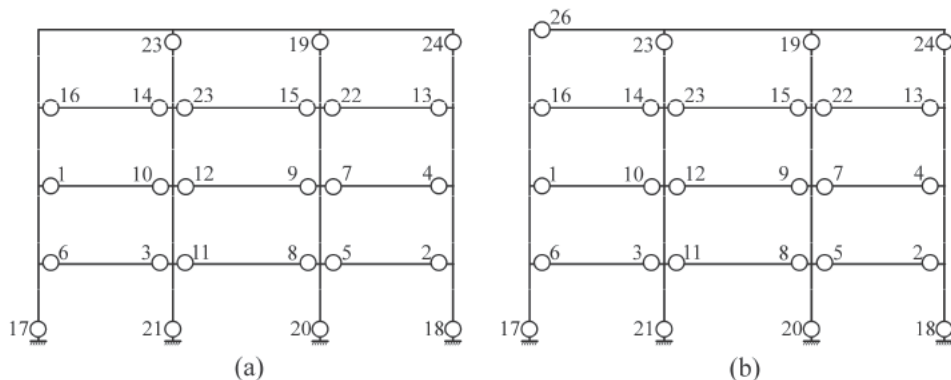
gdje je $S_e(T^*)$ elastični spektar ubrzanja SDOF sistema za periodu T^* koji je jednak, izraz (2.36):

$$S_e(T^*) = a_g \cdot S \cdot \eta \cdot 2.5 \left[\frac{T_C}{T^*} \right] = 0.36 \cdot 9.81 \cdot 1.0 \cdot 1.0 \cdot 2.5 \left[\frac{0.4}{1.150} \right] = 3.07 \frac{\text{m}}{\text{s}^2}$$

Sada je ciljno pomjeranje MDOF sistema prema jednačini (3.37a) jednako:

$$d_t = \Gamma \cdot d_t^* = 1.268 \cdot 0.103 = 0.131 \text{ m}$$

Na slici 3.19 prikazan je redoslijed (označen brojevima) i mjesta pojave plastičnih zglobova pri dostizanju ciljnog pomjeranja (slika 3.19a) i pri formiranju plastičnog mehanizma (slika 3.19b). Sa slike se može vidjeti da je u oba slučaja formiran poželjan mehanizam plastičnih zglobova. Plastični zglobovi su se pri manjim intenzitetima horizontalnih sila javljali samo na krajevima greda, da bi se povećanjem sila formirali i na mjestima uklještenja stubova u temelj. Formiranje plastičnih zglobova na gornjim djelovima stubova najgornje etaže umjesto u gredama takođe je prihvatljivo zbog male normalne sile koja se javlja u stubovima (vidi EC8-1, 4.4.2.3(6)). Sada bi bilo moguće procijeniti sigurnost konstrukcije tako što bi se kapacitet plastičnih deformacija u pojedinim plastičnim zglobovima uporedio sa onim plastičnih deformacija koje se javljaju pri ciljnom pomjeranju. Drugim riječima, obezbjeđena duktilnost krivine u plastičnim zglobovima bi trebala da bude veća od duktilnosti krivine koje odgovaraju ciljnom pomjeranju.



Slika 3.19 Redoslijed i mesta pojave plastičnih zglobova u ramu za:

(a) ciljno pomjeranje; (b) plastični mehanizam

Pushover analizom takođe je moguće provjeriti vrijednost odnosa α_u/α_1 koji direktno utiče na vrijednost faktora ponašanja q , EC8-1, 5.2.2.2(2), vidi dio 2.3.2. Analogno definiciji datoј u EC8-1, 5.2.2.2(4), odnos α_u/α_1 može predstavljati odnos sile pri kojoj se formirao potpuni plastični mehanizam i sile pri kojoj se javlja prvi plastični zgrob u konstrukciji. Sa slike 3.18b slijedi:

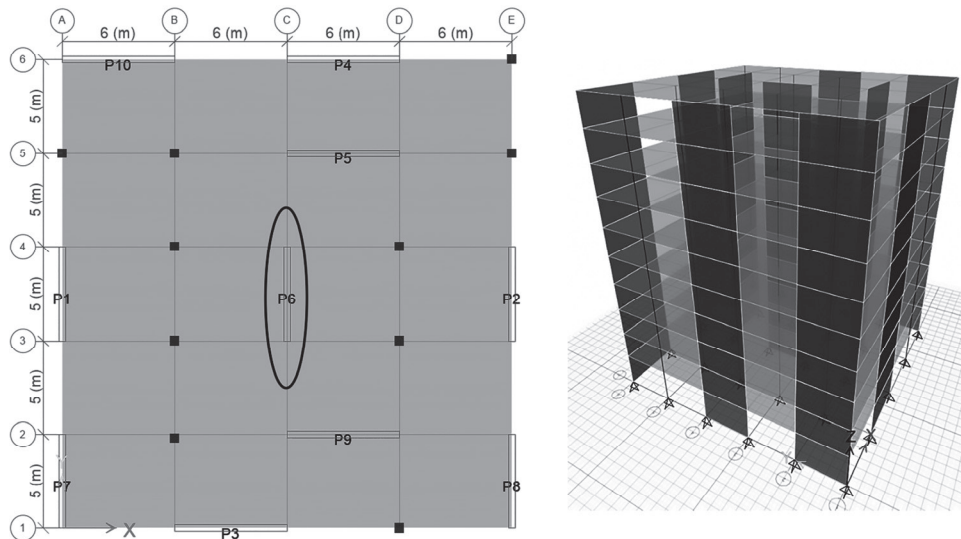
$$\alpha_u / \alpha_1 = F_m / F_1 = 468.77 / 320.67 = 1.46$$

Ova vrijednost se razlikuje od preporučene u članu EC8-1, 5.2.2.2(5) za ovakav tip konstrukcije koja iznosi 1.3. Može se zaključiti da bi upotreba stvarne vrijednosti odnosa α_u / α_1 , dobijene sprovođenjem pushover analize u ponovnoj linearnoj seizmičkoj analizi, zbog povećanja faktora ponašanja q , rezultirala manjim uticajima, to jest u konačnom, ekonomičnijom konstrukcijom.

3.3.5 Nelinearna dinamička analiza

Najkomplikovanija, ali istovremeno i najtačnija i najpouzdanija analiza koja stoji na raspolaganju projektantu za određivanje sila i pomjeranja konstrukcije pri dejstvu projektnog zemljotresa, svakako je *nelinearna dinamička analiza* (engleski: *nonlinear time history analysis*, a kod nas prevedena još i kao *nelinearna analiza vremenske istorije odgovora*). Ova analiza podrazumijeva numeričko rješavanje matrične jednačine kretanja sistema s više stepeni slobode procedurama „korak po korak“ (vidi poglavlje 1.2.2), gdje je usvojena nelinearna zavisnost sila – pomjeranje to jest matrica krutosti K se mijenja s vremenom. Kao rezultat ove analize dobija se cjelokupni odgovor izabranog parametra (pomjeranje, sila, uticaj) u toku vremena djelovanja zemljotresa.

Da bi se mogla sprovesti dinamička analiza, neophodno je obezbijediti više zemljotresnih zapisa – akcelerograma koji odgovaraju seizmičkim karakteristikama razmatrane lokacije (vidi poglavlje 2.4.7). Pri ovome treba reći da se u slučaju prostornog modela u račun uzima simultano dejstvo dva zemljotresa (koji djeluju u dva ortogonalna pravca kada se razmatra samo horizontalno dejstvo zemljotresa) ili tri zemljotresa (kada se u račun uzima i vertikalna komponenta). Prema EC8-1 najmanji broj zapisa iznosi $3 \cdot 2$ (samo horizontalno dejstvo) ili $3 \cdot 3$ (i horizontalno i vertikalno dejstvo) kada se u daljem



Slika 6.61 Tipska osnova i 3D model u ETABS-u

Ulagni podaci:

- visina prizemlja: 3.5 m;
- visina tipskog sprata: 3.0 m;
- poprečne dimenzije svih stubova: 50/50 cm;
- debljina pune armiranobetonske ploče: 18 cm;
- poprečne dimenzije svih zidova:
35/600 cm (x pravac);
35/500 cm (y pravac);
- jednako podijeljeno opterećenje na svim pločama:
stalno, $g = 3.0 \text{ kN/m}^2$;
promjenljivo, $p = 2.5 \text{ kN/m}^2$;
- referentno maksimalno ubrzanje tla: $a_{gR} = 0.371g$;
- faktor značaja: $\gamma = 1.0$;
- tip tla: B;
- klasa duktilnosti: DCM;
- klasa betona: C30/37;
- klasa armature: B500B;
- zaštitni sloj betona: $a_0 = 3.0 \text{ cm}$.

Radi lakšeg praćenja kod riješenih primjera, datih u poglavljima 6.10, 6.11 i 6.12, osim pozivanja na izraze iz ove knjige, reference su istovremeno pravljene i prema odgovarajućim članovima korišćenih eurokodova.

6.10.1 Faktor ponašanja i osnovne karakteristike objekta

Faktor ponašanja q izračunaće se pomoću izraza (2.16), EC8-1, 5.2.2.2(1) – formula (5.1):

$$q = q_0 k_w \geq 1.5$$

U skladu s tabelom 2.3, (EC8-1, 5.2.2.2(2)), a s obzirom na to da analizirani tip konstrukcije predstavlja sistem nevezanih zidova, osnovna vrijednost faktora ponašanja q_0 jednaka je:

$$q_0 = 3.0$$

Faktor k_w je jednak, EC8-1, 5.2.2.2(11):

$$k_w = (1 + \alpha_0) / 3 \leq 1$$

gdje je $\alpha_0 = \sum h_{wi} / \sum l_{wi} = 5 \cdot 30.5 / (5 \cdot 5) = 6.1$, EC8-1, 5.2.2.2(12), pa je $k_w = 1$.

Konačno, faktor ponašanja jednak je:

$$q = 3.0 \cdot 1 = 3.0$$

Analiza konstrukcije cijelog objekta na gravitaciona i seizmička dejstva urađena je pomoću programa ETABS. S obzirom na to da je predmet ovog računskog primjera dimenzioniranje zida, ovdje se u tabeli 6.3 daju samo osnovni podaci o objektu koji su dobijeni sprovedenom analizom.

Tabela 6.3 Osnovni podaci o objektu

Ukupna težina	(kN)	65 155
Ukupna seizmička sila	(kN)	9 088
Osnovna perioda oscilovanja u Y pravcu	(sec)	1.093

Seizmičke sile izračunate su pomoću metode modalne analize sa spektrima odgovora, EC8-1, 4.3.3.3 (vidi dio 3.3.3). U nastavku je dat proračun zida P6.

6.10.2 Uticaji u zidnom platnu P6

Nakon sprovedene analize na gravitaciona i seizmička opterećenja, dobijeni su (vidi sliku 6.62) sljedeći dijagrami: momenti savijanja M_{Ed} , smičuće sile V_{Ed} i normalne sile N_{Ed} . Normalne sile pritiska imaju pozitivni predznak. Za nalaženje seizmičkih uticaja korišćena je modalna analiza sa spektrima odgovora. Prikazani uticaji dobijeni su pomoću sljedeće kombinacije uticaja, izraz (2.6), EC0, 6.4.3.4(2) - jednačina (6.12b):

$$1.0 \cdot G \text{ (stalno)} + 0.3 \cdot Q \text{ (korisno)} \pm 1.0 \cdot AE \text{ (seizmičko)}$$

Dijagrami momenata savijanja i smičućih sila, prikazani na slikama 6.62a i 6.62b, su uslijed seizmičkih sile (stalno i povremeno opterećenje ne prave ove uticaje u zidu) i mogu biti alternativnog znaka. Dijagrami normalnih sile (slika 6.62c) dati su za maksimalne ($1.0 \cdot G + 0.3 \cdot Q$) i minimalne ($1.0 \cdot G$) normalne sile. Normalne sile su sile pritiska. Zanemarene su normalne sile uslijed zemljotresa koje se sa ploče prenose na zid, što je uobičajeno kod nepovezanih zidova.

Za $\theta = 21.8^\circ$, to jest $\operatorname{ctg}\theta = 2.5$ i $\operatorname{tg}\theta = 0.4$, vrijednost $V_{Rd,\max}$ jednaka je:

$$V_{Rd,\max} = 1 \cdot 35 \cdot 405 \cdot 0.6 \cdot 2.0 / (2.5 + 0.4) = 5866 \text{ kN}$$

Za $\theta = 45^\circ$, to jest $\operatorname{ctg}\theta = 1$ i $\operatorname{tg}\theta = 1$, vrijednost $V_{Rd,\max}$ jednaka je:

$$V_{Rd,\max} = 1 \cdot 35 \cdot 405 \cdot 0.6 \cdot 2.0 / (1 + 1) = 8505 \text{ kN}$$

Može se vidjeti da je $\max V_{Ed} = 2781 \text{ kN}$ manja od obju vrijednosti $V_{Rd,\max}$.

U slučaju da je $\max V_{Ed} > V_{Rd,\max}$ (za $\operatorname{ctg}\theta = 2.5$), trebalo bi usvojiti manju vrijednost za $\operatorname{ctg}\theta$, dok se ne dobije $\max V_{Ed} < V_{Rd,\max}$. Za tako smanjenu vrijednost $\operatorname{ctg}\theta$ očigledno bi se dobila veća količina horizontalne armature nego ako se usvoji $\operatorname{ctg}\theta = 2.5$, a sve u skladu s izrazom (A.18), EC2-1-1, 6.2.3(3) – jednačina (6.8).

U nastavku proračuna usvojeno je da je $\operatorname{ctg}\theta = 2.5$, jer se na takav način dobija najmanje smičuće armature. Komentar na ovakav način proračuna na smičuće sile duktilnih zidova dat je u dijelu 6.3.2.4a.

Potrebna horizontalna armatura za prihvatanje napona smicanja je jednaka, vidi jednačinu (A.18), EC2-1-1, 6.2.3(3) – jednačina (6.8):

$$\frac{A_{sh}}{s} = \frac{V_{Ed}}{z f_{ywd} \operatorname{ctg}\theta} = \frac{2781}{405 \cdot 43.48 \cdot 2.5} = 0.063 \frac{\text{cm}^2}{\text{cm}} = 6.3 \frac{\text{cm}^2}{\text{m}}$$

Minimalna horizontalna armatura u zidu iznosi, EC2-1-1, 9.6.3(1):

$$A_{sh,\min} = \begin{cases} 0.25 A_{sv} = 0.25 \cdot 11.3 = 2.83 \text{ cm}^2/\text{m} \\ 0.001 A_c = 0.001 \cdot 35 \cdot 100 = 3.5 \text{ cm}^2/\text{m} \end{cases}$$

Maksimalni razmak dviju susjednih šipki iznosi 40 cm, EC2-1-1, 9.6.3(2). Konačno se usvaja horizontalna armatura:

$$\pm \phi 12/30 \text{ cm (7.5 cm}^2/\text{m)}$$

6.10.7 Oblikovanje detalja za lokalnu duktilnost

Zone duktilnog zida, gdje se očekuje da će se javiti plastične deformacije, nalaze se na mjestima njegovog uklještenja u temelj i nazvane su kritičnim oblastima. U ovim oblastima treba obezbijediti adekvatni faktor duktilnosti krivine.

6.10.7.1 Visine kritične oblasti, h_{cr}

Utezanje ivičnog dijela zida obavlja se na visini kritične oblasti h_{cr} zida, koja se izračunava preko izraza (6.39), EC8-1, 5.4.3.4.2(1) – jednačina (5.19a):

$$h_{cr} = \max \left(l_w; \frac{h_w}{6} \right) = \max \left(5.0; \frac{30.5}{6} \right) \cong 5.0 \text{ m}$$

Ova vrijednost zadovoljava uslov (6.40), EC8-1, 5.4.3.4.2(1) – jednačina (5.19b):

$$h_{cr} \leq \begin{cases} 2l_w \\ 2h_s \end{cases} = \begin{cases} 2 \cdot 5.0 \\ 2 \cdot 3.5 \end{cases} = \begin{cases} 10.0 \text{ m} \\ 7.0 \text{ m} \end{cases}$$

6.10.7.2 Potrebna vrijednost faktora duktilnosti krivine μ_ϕ

Za razliku od ramovskih konstrukcija, potrebna vrijednost faktora duktilnosti krivine μ_ϕ kod zidova, osim od osnovne vrijednosti faktora ponašanja q_0 , od sopstvene osnovne periode oscilovanja konstrukcije u odgovarajućem pravcu i od usvojene klase armature, zavisi i od obezbjeđene nosivosti na savijanje na mjestu uklještenja zida u temelj.

Sopstvena perioda oscilovanja u Y pravcu iznosi $T = 1.093$ sec, a za tlo tipa B, $T_C = 0.5$ sec, pa je $T = 1.093$ sec $> T_C = 0.5$ sec, to jest, vidi izraz (2.30), EC8-1, 5.2.3.4(3) – jednačina (5.4) i EC8-1, 5.4.3.4.2(2):

$$\mu_\phi = 2q_0 \left(\frac{M_{Ed}}{M_{Rd}} \right) - 1 = 2 \cdot 3 \cdot 0.94 - 1 = 4.64$$

U prethodnoj jednačini uzet je podatak dobijen iz programa ETABS: $M_{Ed}/M_{Rd} = 0.94$. Naime, uzimajući u račun kako armaturu na dužini utezanja $28\phi 25$ (vidi sliku 6.65) tako i usvojenu armaturu duž zida $\pm\phi 12/20$ cm, koristeći program ETABS dobijena je za 6% veća nosivost na savijanje od one kada se uzme samo armatura na krajevima. Ovdje se mogla usvojiti (na strani je sigurnosti) i pretpostavka da je ovaj odnos jednak jedinici.

U skladu sa članom EC8-1, 5.2.3.4(4), da u kritičnim oblastima gdje je usvojena armatura klase B, faktor duktilnosti mora da bude najmanje 1.5 puta veći od onog datog u EC8-1, 5.2.3.4(3) – izraz (5.4), vrijednost za μ_ϕ konačno iznosi:

$$\mu_\phi = 1.5 \cdot 4.64 = 6.96$$

6.10.7.3 Potrebna vrijednost stepena utezanja $\alpha\omega_{wd}$

Prije svega izvršiće se kontrola da li utezanje ivične zone treba sprovesti prema EC8-1, EC8-1, 5.4.3.4.2(12). Normalizovana normalna sila jednak je $v_d = 0.18$ (vidi dio 6.10.4), što je veće od 0.15, EC8-1, 5.4.3.4.2(12a), pa će se proračun poprečne armature sprovesti prema EC8-1. U suprotnom, proračun bi se mogao sprovesti prema EC2-1-1. Treba reći da se s obzirom da je $v_d < 0.20$ moglo ipak koristiti EC2-1-1, pod uslovom da se faktor ponašanja smanji za 15%, EC8-1, 5.4.3.4.2(12b), ali to u ovom računskom primjeru nije urađeno.

Da bi se obezbijedila potrebna duktilnost krivine od $\mu_\phi = 6.96$ mehanički zapreminski procenat armiranja uzengija ivičnih elemenata ω_{wd} treba da zadovolji izraz (6.41), EC8-1, 5.4.3.4.2(4) – izraz (5.20):

$$\alpha\omega_{wd} \geq 30\mu_\phi(v_d + \omega_v) \cdot \varepsilon_{sy,d} \cdot \frac{b_c}{b_0} - 0.035$$

gdje je ω_{wd} mehanički zapreminski procenat armiranja uzengija unutar kritičnih oblasti.

$$\left[\omega_{wd} = \frac{\text{zapremina uzengija}}{\text{zapremina betonskog jezgra}} \cdot \frac{f_{yd}}{f_{cd}} \right]$$

Pretpostavljamo da su uzengije prečnika 10 mm, pa uz vrijednost zaštitnog sloja od $a_0 = 3$ cm se dobija:

$$b_0 = 35 - 2 \cdot 3.0 - 1.0 = 28 \text{ cm}$$

$$b_c = b_w = 35 \text{ cm}$$

gdje je: b_0 osno rastojanje spoljnje uzengije i b_c ukupna širina presjeka.

Proračunska dilatacija armature na granici tečenja jednaka je:

$$\varepsilon_{sy,d} = \frac{f_{yd}}{E_s} = \frac{50/1.15}{20000} = 0.002174$$

gdje su proračunska vrijednost granice tečenja armature i modul elastičnosti: $f_{yd} = 50/1.15 = 43.48 \text{ kN/cm}^2$ i $E_s = 20000 \text{ kN/cm}^2$.

Za usvojenu vertikalnu armaturu duž zida: $\pm\phi 12/20 \text{ cm}$ (11.3 cm^2), mehanički koeficijent armiranja vertikalnom armaturom rebra jednak je:

$$\omega_v = \rho_v \frac{f_{yd,v}}{f_{cd}} = \frac{11.3}{35 \cdot 100} \frac{43.48}{2.0} = 0.07$$

pa je konačno potrebna vrijednost stepena utezanja:

$$\alpha\omega_{wd} \geq 30 \cdot 6.96 \cdot (0.18 + 0.07) \cdot 0.002174 \cdot \frac{35}{28} - 0.035 = 0.107$$

6.10.7.4 Određivanje dužine utegnutog ivičnog elementa l_c

Dužina utegnutog ivičnog elementa l_c računa se kao (vidi sliku 6.30 i izraz (6.43)), EC8-1, 5.4.3.4.2(6):

$$l_c = x_u \left(1 - \varepsilon_{cu2} / \varepsilon_{cu2,c} \right)$$

Za izračunavanje granične dilatacije utegnutog betona $\varepsilon_{cu2,c}$ pomoću izraza (6.45), usvojena je potrebna vrijednost za $\alpha\omega_{wd}$, dobijena u 6.10.7.3, koja će se inače kasnije tačno odrediti.

$$\varepsilon_{cu2,c} = \varepsilon_{cu2} + 0.1\alpha\omega_{wd} = 0.0035 + 0.1 \cdot 0.107 = 0.0142$$

Visina neutralne linije jednaka je, izraz (6.44), EC8-1, 5.4.3.4.2(5a) – jednačina (5.21):

$$x_u = (\nu_d + \omega_v) \frac{l_w b_c}{b_0} = (0.18 + 0.07) \frac{500 \cdot 35}{28} = 156.3 \text{ cm}$$

Konačno dužina utegnutog ivičnog elementa l_c iznosi, izraz (6.43), EC8-1, 5.4.3.4.2(6):

$$l_c = x_u \left(1 - \varepsilon_{cu2} / \varepsilon_{cu2,c}\right) = 156.3 \cdot \left(1 - 0.0035 / 0.0142\right) = 117.8 \text{ cm}$$

Minimalna dužina utegnutog ivičnog elementa l_c , EC8-1, 5.4.3.4.2(6) je:

$$\min l_c = 0.15 \cdot l_w = 0.15 \cdot 500 = 75 \text{ cm}$$

ili

$$\min l_c = 1.5 \cdot b_w = 1.5 \cdot 35 = 52.5 \text{ cm}$$

Zadovoljena su oba kriterijuma!

Kontrola l_c za stvarno $\alpha \omega_{wd}$

U dijelu 6.10.7.7 izračunato je da za usvojenu konfiguraciju podužne i poprečne armature $\omega_{wd} = 0.207$ i $\alpha = 0.783 \cdot 0.705 = 0.552$. U tom slučaju je:

$$\varepsilon_{cu2,c} = 0.0035 + 0.1 \cdot 0.552 \cdot 0.207 = 0.0149$$

pa je:

$$l_c = 156.3 \cdot \left(1 - 0.0035 / 0.0149\right) = 119.6 \text{ cm}$$

Vidi se da je došlo do zanemarljivog povećanja dužine utegnutog ivičnog elementa u odnosu na već izračunatu.

6.10.7.5 Kontrola debljine utegnutog dijela presjeka zida b_w

Nakon što je određena dužina utegnutog ivičnog elementa l_c , može se provjeriti da li je potrebno povećavati debljinu na utegnutom dijelu zida, kao što je navedeno u 6.10.4.

Kako je $l_c > 2b_w = 2 \cdot 35 = 70 \text{ cm}$ i $l_c > 0.2l_w = 0.2 \cdot 500 = 100 \text{ cm}$ slijedi $b_w \geq h_s / 10 = 350 / 10 = 35 \text{ cm}$, EC8-1, 5.4.3.4.2(10), pa nije potrebno povećavati debljinu zida na utegnutom dijelu zida.

6.10.7.6 Usvajanje konačne konfiguracije ivične zone zida

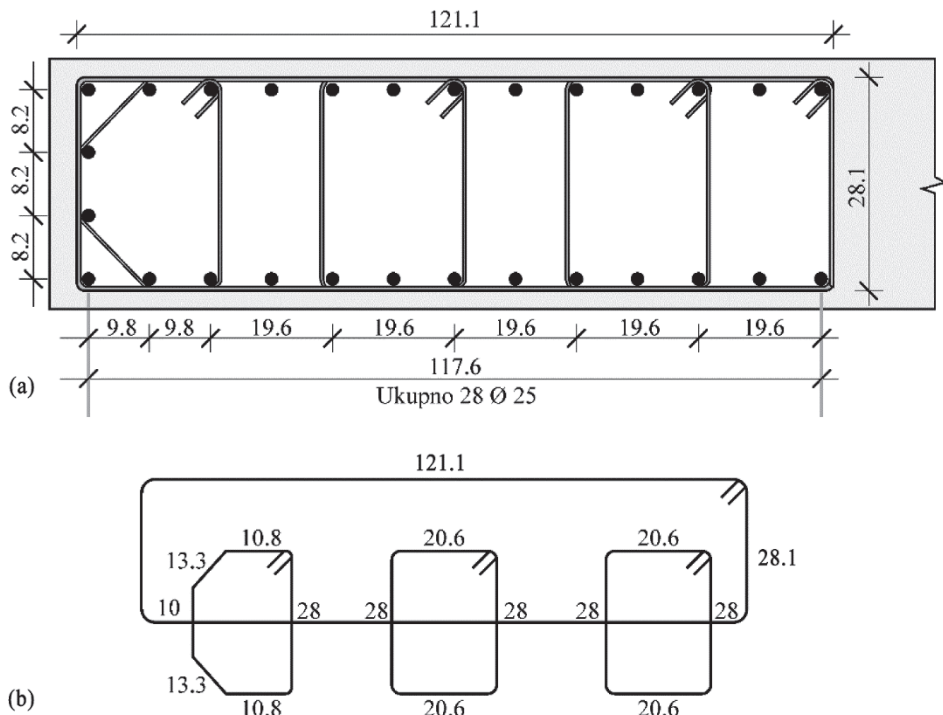
Znajući potrebnu površinu vertikalne armature na krajevima zida (136.8 cm^2) i dužinu utegnutog ivičnog elementa, moguće je napraviti detalj armiranja te zone. Usvojena armatura $28\phi 25$ (137.2 cm^2) je prikazana na slici 6.65. Za poprečnu armaturu je, kao što je prethodno rečeno, usvojen prečnik $\phi 10$. Razmak uzengija će se kasnije odrediti.

Kontrola koeficijenta armiranja podužnom armaturom ivičnih elemenata, EC8-1, 5.4.3.4.2(8):

$$A_{sv,min} = 0.005 A_c = 0.005 \cdot 35 \cdot 118 = 20.65 \text{ cm}^2$$

što je manje od usvojenih $28\phi 25$ (137.2 cm^2).

Iako to nije eksplisitno precizirano s EC8-1, prije svega zbog problema ugradnje betona, za maksimalni koeficijent armiranja podužnom armaturom ivičnih elemenata treba usvojiti 4%, u skladu s EC2-1-1, 9.6.2(1).



Slika 6.65 (a) Konfiguracija podužne i poprečne armature na dužini utezanja; (b) shematski prikaz uzengija

Predložena konfiguracija podužne i poprečne armature na dužini utezanja zadovoljava uslove date u EC2-1-1 i EC8-1. Prema članu EC8-1, 5.4.3.4.2(9) neophodno je da svaka druga podužna šipka mora biti obuhvaćena uzengijom ili poprečnom vezom. Takođe razmak između dvije susjedne šipke pridržane poprečnim vezama ili uzengijama ne treba da prelazi 20 cm, (EC8-1, 5.4.3.2.2(11)). Prema EC2-1-1, 9.5.3(6) nijedna šipka u pritisnutoj zoni presjeka ne treba da bude na većem rastojanju od 15 cm od šipke čije je pomjeranje sprječeno poprečnom armaturom.

6.10.7.7 Kontrola usvojene konfiguracije armature ivičnih zona zida

U ovom će se dijelu provjeriti da li usvojena konfiguracija podužne i poprečne armature u dijelu 6.10.7.6, i data na slici 6.65, zadovoljava prethodno izračunati potrebni (u poglavlju 6.10.7.3) mehanički zapreminski procenat armiranja uzengija unutar kritičnih regiona $\alpha\omega_{wd} \geq 0.107$, EC8-1, 5.4.3.4.2(4).

Prvo će se odrediti faktor efikasnosti utezanja α koji fuguriše u izrazu $\alpha\omega_{wd}$, EC8-1, 5.4.3.4.2(4) – izraz (5.20). Faktor efikasnosti utezanja $\alpha = \alpha_n \cdot \alpha_s$, EC8-1, 5.4.3.2.2(8) za pravougaoni poprečni presjek objašnjen je u poglavljvu 4.3.2.3.

Imajući u vidu konfiguraciju armature, prikazane na slici 6.65, faktor α_n , vidi izraz (4.31) jednak je:

7.4 ODREĐIVANJE SILA U TAVANICAMA

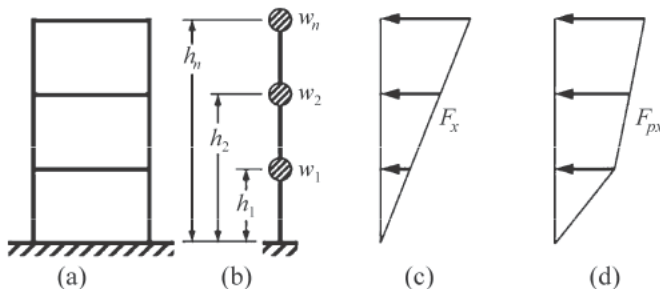
Veličina seizmičkih sila koja se javlja u tavanicama zavisi od ukupnog odgovora objekta na dejstvo zemljotresa i, po pravilu, ne može se odrediti dok se ne uradi barem preliminarna analiza globalnog ponašanja objekta. Na vrijednost seizmičkih sila u tavanica-ma uticaj imaju: sopstvena perioda oscilovanja, tip konstruktivnih sistema koji prihvataju horizontalna dejstva, relativna krutost vertikalnih sistema na horizontalna dejstva, postojanje diskontinuiteta u tavanicama, torzionalni odgovor objekta i drugo.

Takođe, prilikom određivanja sila u tavanicama treba voditi računa da one treba da budu u saglasnosti sa proračunom ostalih djelova objekta, kao i sa predviđenom pojmom nelinearnih deformacija u elementima vertikalnih sistema (zidovi i/ili ramovi).

Pri seizmičkoj analizi tavanica razlikuju se dva tipa sila koje se u njima javljaju: inercijalne sile i sile transfera. Više o ovim silama dato je u nastavku.

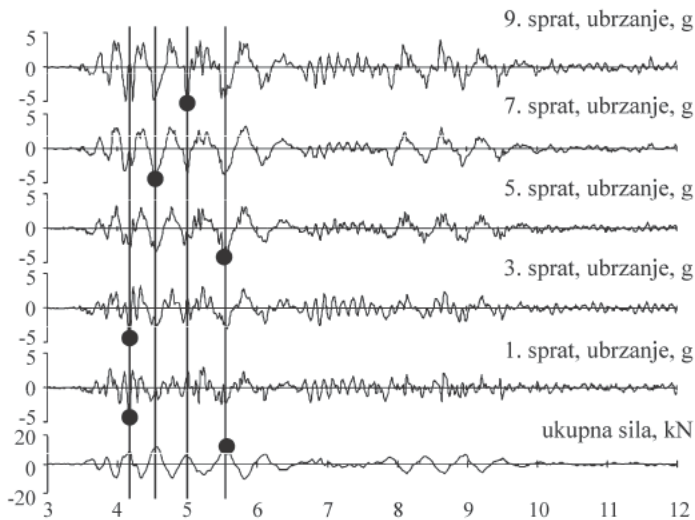
7.4.1 Inercijalne sile

Prilikom proračuna zgrada obično se upotrebljavaju linearne metode, i to statička metoda bočne sile i dinamička modalna analiza sa spektrima odgovora. Na slikama 7.7a i 7.7b prikazana je trospatna zgrada i njen dinamički model. Na slici 7.7c prikazane su tipične proračunske spratne seizmičke sile dobijene pomoću metode bočne sile, gdje se vidi da distribucija sila ima približno trouglastu raspodjelu sila (na višim etažama veće sile, a na nižim etažama manje sile). Ovim silama se pokušavaju aproksimirati seizmičke inercijalne sile koje se javljaju na pojedinim tavanicama.



Slika 7.7 Projektne sile za vertikalne sisteme i tavanice: (a) konstrukcija; (b) model; (c) sile za proračun vertikalnih sistema; (d) sile za proračun tavanica (Sabelli i ostali, 2011)

Međutim, kod višespratnih objekata zbog uticaja viših tonova, tokom dinamičkog odgovora različite tavanice mogu imati maksimalna ubrzanja, kojima odgovaraju inercijalne sile veće od onih koje koristimo prilikom proračuna vertikalnih sistema. Ovo je ilustrovano na slici 7.8, na kojoj su prikazane vremenske istorije ubrzanja za pojedine spratove (gornjih 5 dijagrama) i ukupne seizmičke sile (najdonji dijagram) za devetospratnu zgradu koja je testirana na vibrirajućoj platformi (*shaking table*).



Slika 7.8 Vremenska istorija ubrzanja za pojedine spratove i ukupne seizmičke sile za testiranu devetospratnu zgradu na vibrirajućoj platformi (*shaking table*) (Moehle, 2015)

Uočljivo je da su maksimalna ubrzanja kod svih tavanica približno iznosila $0.5g$, ali su se ona dešavala u različitim vremenskim trenucima. Ovo znači da bi, s jedne strane, svaka pojedinačna tavanica trebalo da bude projektovana na taj način da se odupre inercijalnim silama koje odgovaraju maksimalnom ubrzanju te tavanice tokom dejstva zemljotresa. S druge strane, pri proračunu i dimenzionisanju elemenata vertikalnih sistema, istovremeno uzimanje u račun ovih maksimalnih sile bilo bi previše konzervativno zbog činjenice što se te maksimalne vrijednosti dešavaju u različitim vremenskim trenucima.

Ovo znači da bi trebalo da imamo dva seta seizmičkih sila. Jedan, koji je adekvatan za proračun vertikalnih sistema koji prihvataju seizmičke uticaje (slika 7.7c) i drugi pomoću kojih nalazimo uticaje u tavanicama (slika 7.7d). EC8-1 ne prepoznaje drugi set seizmičkih sila. Američki standard (ASCE 7, 2016), nasuprot EC8-1, propisuje da tavanice moraju da imaju nosivost na projektne seizmičke sile iz seizmičke analize, ali da te sile ne smiju da budu manje od onih određenih prema jednačini (7.1).

$$F_{px} = \frac{\sum_{i=x}^n F_i}{\sum_{i=x}^n w_i} w_{px} \quad (7.1)$$

gdje je:

- F_{px} proračunska sila za tavanicu x
- F_i proračunska sila na nivou i
- w_{px} težina tavanice x
- w_i težina na nivou i

Takođe, sile date sa (7.1) imaju ograničenja i s gornje i s donje strane, (ASCE 7, 2016):

$$F_{px,\min} = 0.2S_{DS}I_eW_{px} \quad (7.2)$$

$$F_{px,\max} = 0.4S_{DS}I_eW_{px} \quad (7.3)$$

gdje S_{DS} po (ASCE 7, 2016) predstavlja konstantnu vrijednost spektra odgovora kod konstrukcija s manjom sopstvenom periodom oscilovanja, to jest njegovu maksimalnu vrijednost. Vrijednost od $0.4S_{DS}$ odgovara maksimalnom horizontalnom ubrzanju tla, što predstavlja spektralno ubrzanje konstrukcije sa sopstvenom periodom od $T = 0$ sec. Faktor I_e je faktor značaja koji je za uobičajjene objekte jednak jedinici.

Ove sile su uvijek veće od projektnih, koje se koriste za vertikalne sisteme (osim na posljednjoj tavanici), pa su samim tim i mjerodavne za dimenzionisanje tavanica prema (ASCE 7, 2016). Izračunavanje projektnih seizmičkih sile i sile koje služe za dimenzionisanje tavanica može se vidjeti u računskim primjerima u poglavljima 7.8 i 7.9.

7.4.2 Sile transfera

Pored otpornosti na inercijalne sile koje su jednake proizvodu mase i ubrzanja te tavanice, tavanica mora biti sposobna da prenese sile između različitih vertikalnih sistema – takozvane sile transfera. Ove sile mogu biti značajne na mjestima diskontinuiteta vertikalnih sistema, to jest naglih promjena u vertikalnoj konfiguraciji, kao i kod tavanica kod kojih postoje velike promjene centra masa po vertikali od jednog nivoa do drugog.

Diskontinuiteti vertikalnih sistema (zidova i ramova) mogu biti:

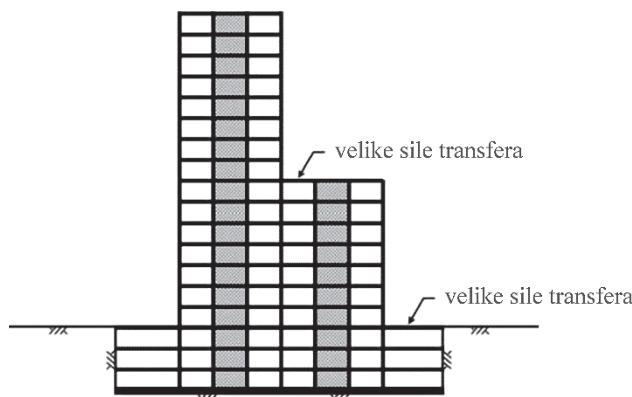
- zidovi i ramovi oslonjeni na stubove;
- zidovi i ramovi koji se prekidaju prije krovne ploče;
- zidovi i ramovi koji imaju nagle promjene krutosti na smicanje i savijanje od jednog nivoa do drugog.

Na slici 7.9 prikazana je jedna neregularna vertikalna konfiguracija, gdje se na nivou nagle promjene osnove objekta, negdje na polovini visine zgrade, u tavanici javljaju velike sile transfera. Takođe, kod ploče na nivou tla velike horizontalne sile se sa visokih zidova prenose preko tavanice na zidove koji su postavljeni po obodu ukopanih etaža.

U ovakvim slučajevima veoma je važno dobro modelirati tavanicu. U slučaju usvajanja krute tavanice pri seizmičkoj analizi, mogu se dobiti nerealno velike sile transfera. Usvajanjem realne krutosti (polukrute) tavanice, dobijaju se znatno realniji uticaji ne samo u tavanici nego i u vertikalnim sistemima.

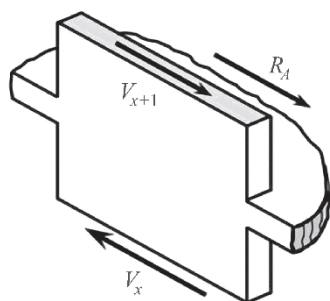
Drugi slučaj kod kojeg se javlja značajan transfer sile između vertikalnih sistema jeste kod naizgled regularnih zgrada, gdje osnovni konstruktivni sistem predstavlja kombinacija zidova i ramovskih konstrukcija (vidi dio 6.8). Ono što kod ovakvih konstrukcija u tavanicama stvara veće sile transfera jeste različito ponašanje ramova i zidova na dejstvo horizontalnih sile. Naime, ram opterećen horizontalnim silama tako se deformatiše da su najveća relativna spratna pomjeranja (razlika između horizontalnih pomjeranja susjednih spratova) na donjim etažama, (slika 6.54b). Nasuprot ovome,

relativna spratna pomjeranja kod zida rastu idući od donjih ka gornjim etažama, (slika 6.54a). Međutim, kada se ova dva sistema nalaze na istom objektu, povezani su međuspratnom tavanicom, koja uslovljava približno ista spratna pomjeranja. Kao posljedica ovoga, zidna platna na donjim etažama preuzimaju skoro cijelokupnu horizontalnu seizmičku silu. Na gornjim etažama ramovi ne samo da preuzimaju cijelokupnu spoljnju seizmičku silu, već i dopunski pridržavaju zidno platno, koje bi u slučaju da je samostalno imalo veće deformacije na gornjim etažama, slika 6.54c. Zbog ovih specifičnosti, međuspratne tavanice, moraju da prenesu uticaje sa rama na zid i obrnuto.



Slika 7.9 Sile transfera u tavanicama na mjestima diskontinuiteta u vertikalnoj konfiguraciji (Sabelli i ostali, 2011)

Na koji način odrediti sile transfera? Sile koje djeluju između tavanice i vertikalnih sistema obično se mogu odrediti iz analize ako se ona sprovodi metodom konačnih elemenata, isijecanjem grupe konačnih elemenata u tavanici i izračunavanjem njihove rezultantne sile. Ovo je moguće uraditi kod polukrute tavanice. Ako se koristi kruta tavanica, isijecanje dijela tavanice nije moguće, pa se do reakcije koja se prenosi između zida i ploče, može doći ako se nađe razlika sila u zidu iznad i ispod tavanice (vidi sliku 7.10). Treba reći da sile dobijene na ovaj način uključuju i sile transfera i inercijalne sile, a da bi se odredile vrijednosti pojedinih ovih sila, potrebno je sprovesti dopunske analize.



Slika 7.10 Sila R_A , koja se prenosi između tavanice i zida, može se dobiti preko presjeka zida ispod i iznad tavanice (Moehle i ostali, 2010)

ANEKS B

PREGLED ZAHTJEVA PREMA EC2-1-1 I EC8-1 ZA DIMENZIJE PRESJEKA I ARMATURU ELEMENATA

Radi lakšeg korišćenja pravilnika EC2-1-1 i EC8-1, u sljedećim tabelama date su pojedine odredbe koje se odnose na određivanje dimenzija poprečnih presjeka, kao i na potrebnu armaturu: greda, stubova, čvorova, duktilnih zidova i temelja. Odredbe su prikazane posebno za dvije klase duktilnosti DCM i DCH. Sve odredbe, to jest zahtjevi, odnose se samo na primarne seizmičke elemente.

B.1 GREDE

Tabela B.1 Dimenzije poprečnog presjeka i kritičnih oblasti greda

Klasa duktilnosti	DCM	DCH
Maksimalna širina	$b_w \leq \min(b_c + h_w; 2b_c)$ EC8-1, 5.4.1.2.1(3)	EC8-1, 5.5.1.2.1(5)
Minimalna širina	— —	$b_w \geq 200 \text{ mm}$ EC8-1, 5.5.1.2.1(1)
Odnos širine i visine (vitkost) poprečnog presjeka	— —	$\frac{l_{0t}}{b} \leq \frac{70}{(h_w/b)^{1/3}}$ i $h_w/b \leq 3.5$ EC8-1, 5.5.1.2.1(2) i EC2-1-1, 5.9(3) – izraz (5.40b)
Ekscentricitet ose grede u odnosu na osu stuba, e	$e \leq b_c/4$ EC8-1, 5.4.1.2.1(2)	EC8-1, 5.5.1.2.1(4)

Tabela B.1 Nastavak - dimenzije poprečnog presjeka i kritičnih oblasti greda

Klasa duktilnosti	DCM	DCH
Pravila za grede koje podupiru stubove bez kontinuiteta ispod grede	Nije dozvoljen ekscentricitet ose stuba u odnosu na osu grede EC8-1, 5.4.1.2.5(2a) greda mora biti oslonjena na najmanje dva direktna oslonca, kao što su zidovi ili stubovi EC8-1, 5.4.1.2.5(2b)	EC8-1, 5.5.1.2.4(2) EC8-1, 5.5.1.2.4(2)
Dužina kritične oblasti, l_{cr}	$l_{cr} = h_w$ od krajnjeg presjeka na spoju grede i stuba, kao i na obje strane bilo kog drugog poprečnog presjeka u kome može doći do pojave tečenja EC8-1, 5.4.3.1.2(1)	$l_{cr} = 1.5h_w$ od krajnjeg presjeka na spoju grede i stuba, kao i na obje strane bilo kog drugog poprečnog presjeka u kome može doći do pojave tečenja EC8-1, 5.5.3.1.3(1)
Dužina kritične oblasti, l_{cr} kod greda koje nose diskontinualne stubove	$l_{cr} = 2h_w$ sa svake strane poduprtog stuba EC8-1, 5.4.3.1.2(2)	EC8-1, 5.5.3.1.3(2)

Tabela B.2 Podužna armatura greda

Klasa duktilnosti	DCM	DCH
Kritična oblast	Minimalni koeficijent armiranja	$\rho_{\min} = 0.5 f_{ctm} / f_{yk}$ EC8-1, 5.4.3.1.2(5)
	Maksimalni koeficijent armiranja	$\rho_{1,\max} = \rho_2 + \frac{0.0018 f_{cd}}{\mu_\varphi \varepsilon_{sy,d} f_{yd}}$ EC8-1, 5.4.3.1.2(4b)
	Odnos pritisnute i zategnute armature	$\rho_2 \geq 0.5 \rho_1$ EC8-1, 5.4.3.1.2(4a)
	Vodenje šipki	– – najmanje dvije šipke prečnika $d_b=14\text{mm}$ moraju biti postavljene u gornjoj i donjoj zoni EC8-1, 5.5.3.1.3(5b)
	Maksimalni prečnik šipki kod unutrašnjeg čvora	$\frac{d_{bL}}{h_c} \leq \frac{7.5 \cdot f_{ctm}}{\gamma_{Rd} \cdot f_{yd}} \cdot \frac{1 + 0.8 \cdot \nu_d}{1 + 0.75 k_d \cdot \rho_2 / \rho_{\max}}$ EC8-1, 5.6.2.2(2a)
	Maksimalni prečnik šipki kod spoljnog čvora	$\frac{d_{bL}}{h_c} \leq \frac{7.5 \cdot f_{ctm}}{\gamma_{Rd} \cdot f_{yd}} \cdot (1 + 0.8 \cdot \nu_d)$ EC8-1, 5.6.2.2(2b)

Tabela B.2 Nastavak - poduzna armatura greda

Klasa duktilnosti	DCM	DCH
Djelovi van kritične oblasti	Minimalni koeficijent armiranja	Kao za kritičnu oblast EC8-1, 5.4.3.1.2(5)
	Vođenje šipki	– – – –
		najmanje dvije šipke prečnika $d_b=14\text{mm}$ moraju biti postavljene u gornjoj i donjoj zoni po cijeloj dužini grede EC8-1, 5.5.3.1.3(5b)
		jedna četvrtina maksimalne gornje armature na osloncima vodi se po cijeloj dužini grede EC8-1, 5.5.3.1.3(5c)

Tabela B.3 Poprečna armatura greda

Klasa duktilnosti	DCM	DCH
Kritična oblast	Razmak uzengija	$s = \min(h_w/4; 24d_{bw}; 22.5 \text{ cm}; 8d_{bL})$ EC8-1, 5.4.3.1.2(6b)
	Prečnik šipki uzengija	$d_{bw} \geq 6 \text{ mm}$ EC8-1, 5.4.3.1.2(6a)
	Postavljanje uzengija	prva uzengija ne bi trebalo da bude udaljena od kraja grede (lica stuba) više od 50 mm EC8-1, 5.4.3.1.2(6c)
Djelovi van kritične oblasti	Minimalni koeficijent armiranja	$\rho_{w,\min} = \left(0.08 \cdot \sqrt{f_{ck}(\text{MPa})}\right) / f_{yk}(\text{MPa})$ EC2-1-1, 9.2.2(5)
	Maksimalni razmak uzengija	$s_{\max} = 0.75d$ u slučaju vertikalnih uzengija EC2-1-1, 9.2.2(6)

B.2 STUBOVI

Tabela B.4 Dimenzije poprečnog presjeka i kritičnih oblasti stubova

Klasa duktilnosti	DCM	DCH
Odnos dimenzija poprečnog presjeka	$h_c/b_c \leq 4$ EC8-1, 5.1.2(1)	
Minimalna površina poprečnog presjeka	$A_c \geq N_{Ed} / (0.65f_{cd})$ EC8-1, 5.4.3.2.1(3)	$A_c \geq N_{Ed} / (0.55f_{cd})$ EC8-1, 5.5.3.2.1(3)